



# L'esperimento GERDA

Riccardo Brugnera

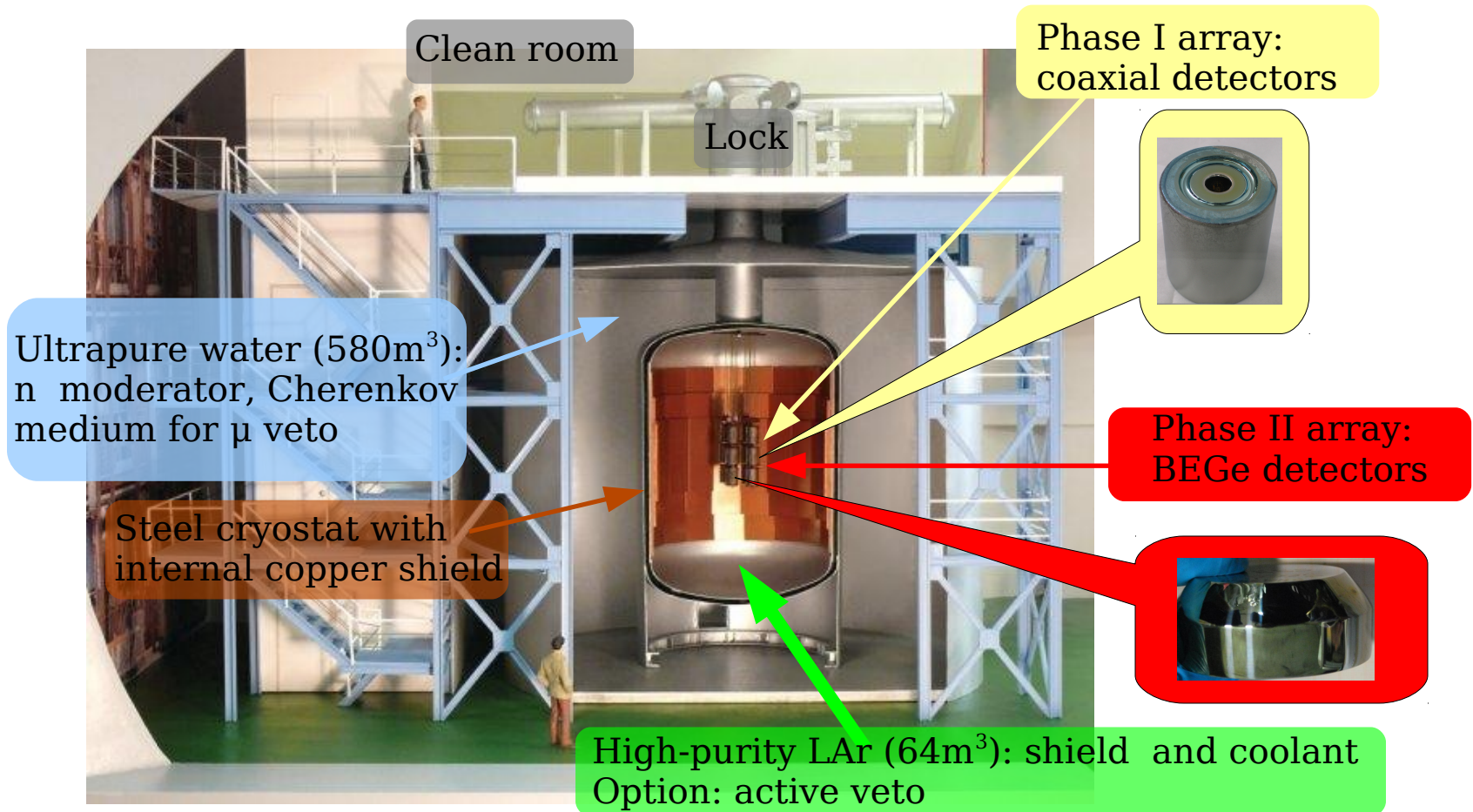


## Sommario:

- L'apparato in breve
- Fase I
- verso la Fase II
- Anagrafica
- Richieste

# Gerda @ LNGS: Background reduction

- Graded shielding against ambient radiation
- Rigorous material selection, avoid exposure above ground for detectors



*The Gerda experiment for the search of  $0\nu\beta\beta$  decay in  $^{76}\text{Ge}$*   
Eur. Phys. J. C (2013) 73:2330

## ◆ Raggiunti gli obiettivi di GERDA per la Fase I

- BI dopo la PSD: 0.01 cts/(keV · kg · yr)
- Esposizione: 21.6 kg · yr

## ◆ Nessun segnale di $0\nu\beta\beta$ al $Q_{\beta\beta} = 2039$ keV; best fit $N^{0\nu} = 0$

- L'ipotesi  $H_0$  con solo bkg molto favorita
- Il claim è fortemente sfavorito (indipendentemente da NME e dal processo fisico)

## ◆ Bayes factor / p-value

- GERDA  $\approx 10^{-2}$
- GERDA + IGEX + HdM  $\approx 10^{-4}$

## ◆ Limiti su $T^{0\nu}_{1/2}$

- GERDA:  $T^{0\nu}_{1/2} > 2.1 \cdot 10^{25}$  yr (90% C.L.)
- GERDA + IGEX + HdM:  $T^{0\nu}_{1/2} > 3.0 \cdot 10^{25}$  yr (90% C.L.) ( $\langle m_{ee} \rangle < 0.2 - 0.4$  eV)

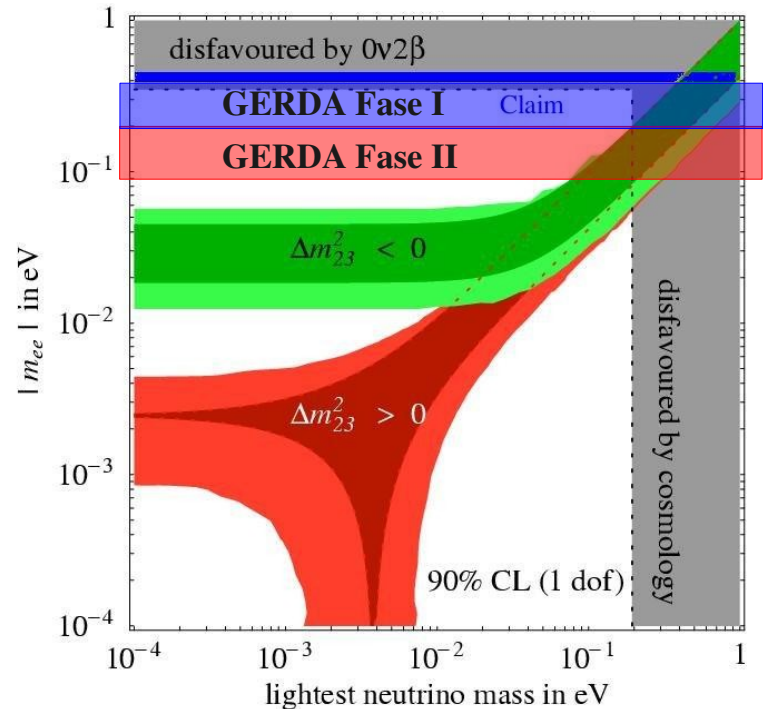
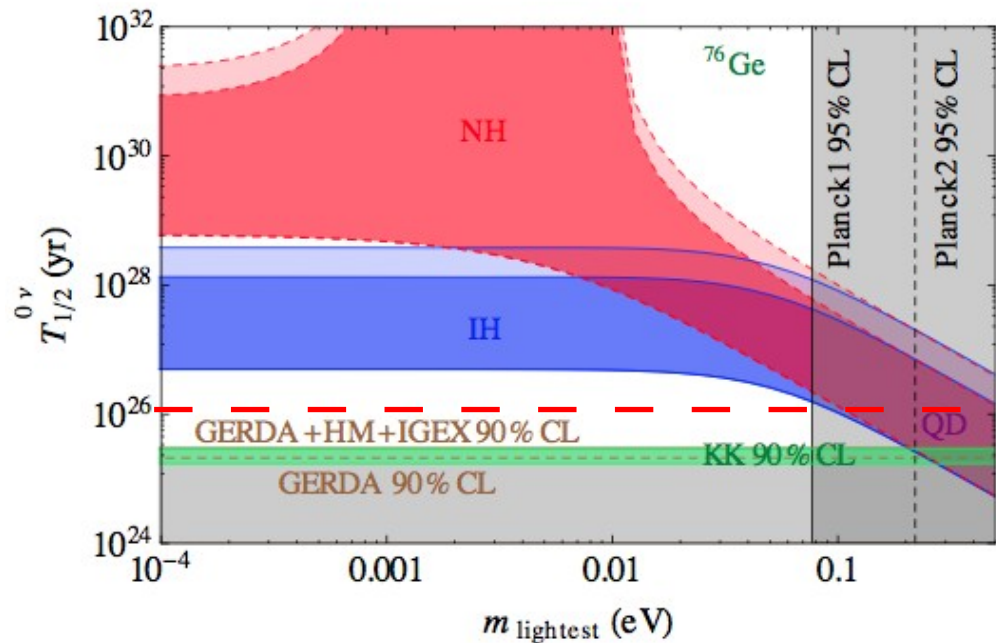
## ◆ Risultati raggiunti dopo soli 21.6 kg · yr di esposizione, grazie ad un **fondo molto basso**: conteggi di bkg in una finestra di $\pm 2 \sigma$ dopo i tagli di analisi:

0.01 cts/(mol · yr) (cf. EXO: 0.07, KL: 0.67)

## ◆ ... ed ora inizia la transizione verso la Fase II

# Fase II: gli obiettivi

- raggiungere un BI  $\sim 10^{-3}$  cts/(keV · kg · yr)
- esposizione  $\sim 100$  kg · yr  $\longrightarrow T_{1/2}^{0\nu} > 1.3 \cdot 10^{26}$  yr
- $\langle m_{\beta\beta} \rangle \leq 0.09-0.15$  eV



# Alcuni punti chiave della Fase II

## ► **aumento della massa:** 30 rivelatori BEGe arricchiti (**20.1 kg**)

- già prodotti dalla Canberra Olen
- completamente provati ad Hades (Belgio)
- primo campione di BEGe già impiegati nella Fase I
- tutti e 30 BEGe ai LNGS

## ► **riduzione del background di un fattore ~10 rispetto alla Fase I**

- bonding dei rivelatori e nuovi holders (meno radioattivi)
- nuovi cavi di segnale e di HV (meno radioattivi)
- nuovo FE meno radioattivo e con caratteristiche ottimizzate per i nuovi rivelatori
- PSA discrimination
- **liquid argon veto instrumentation**

## ► **nuovo lock**

# Il Lock di Fase II

◆ è arrivato ai LNGS ed è stato installato

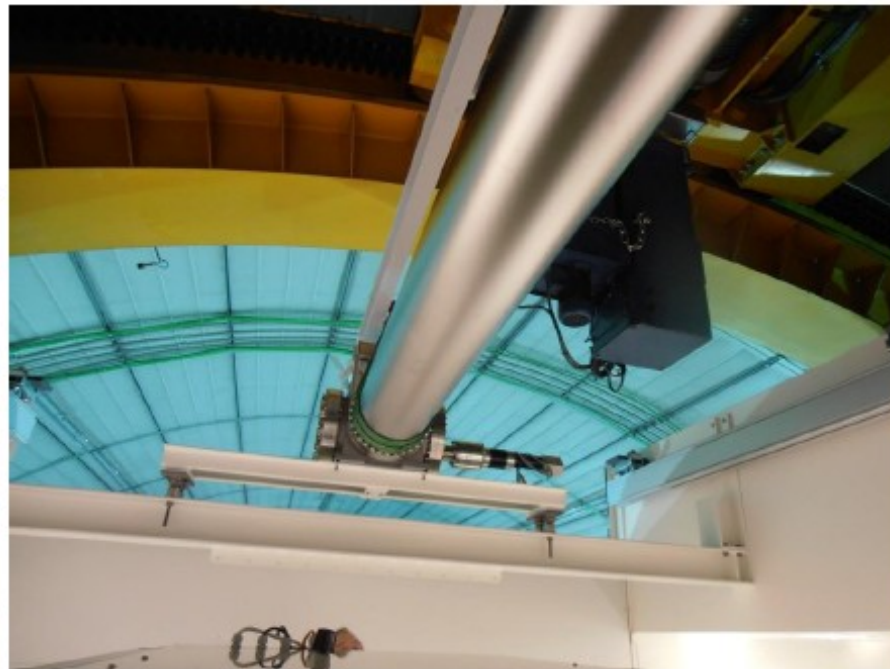


# Il Lock di Fase II

Positioning with vertical tube



Placing motor support



- New shutter support now secured to the floor (HEB700 beam)
  - Bellows can be loosened

# Il Lock di Fase II

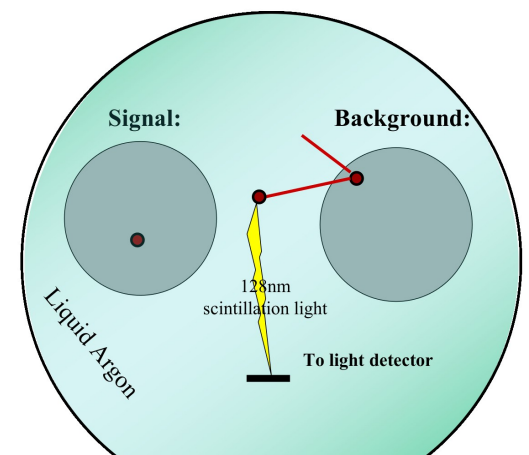
- ◆ tubo verticale dentro la glove box



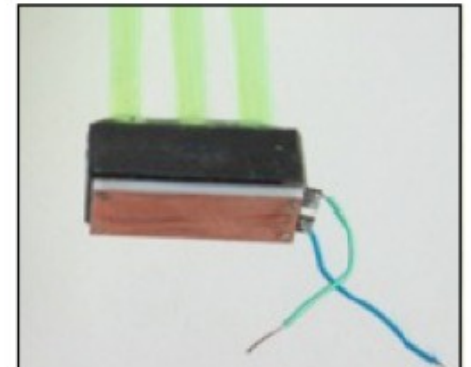
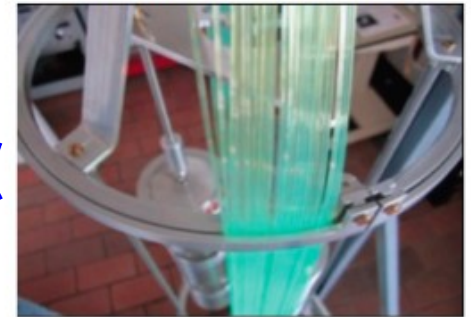


# LAr instrumentation

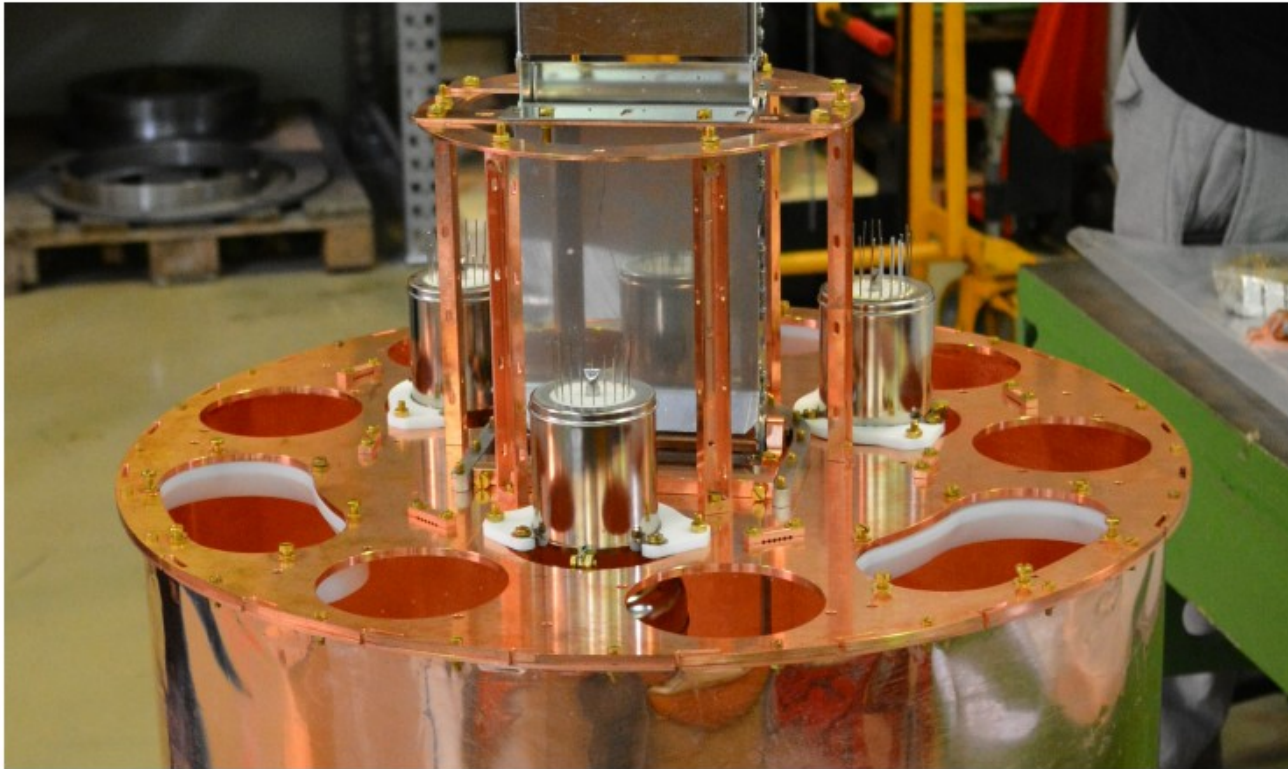
Top/Bottom: PMTs



Cilindro centrale:  
SiPMs + WLS Fibers



# LAr instrumentation



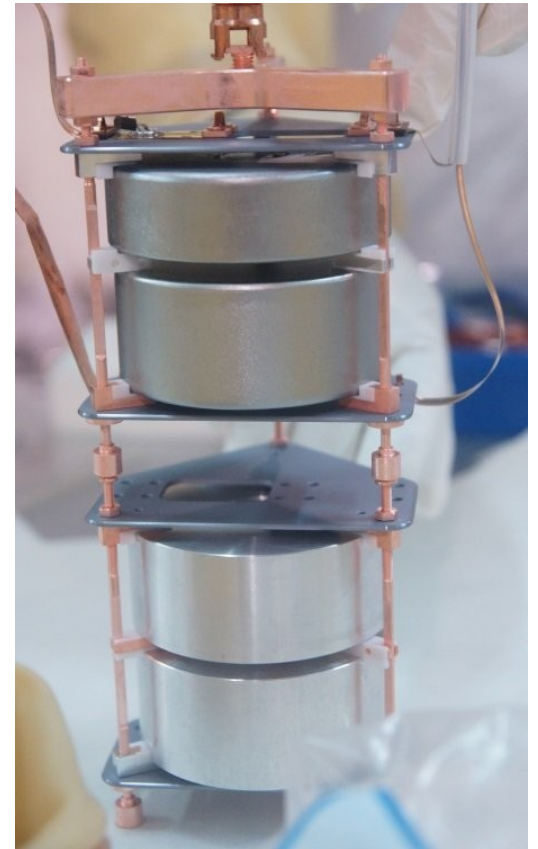
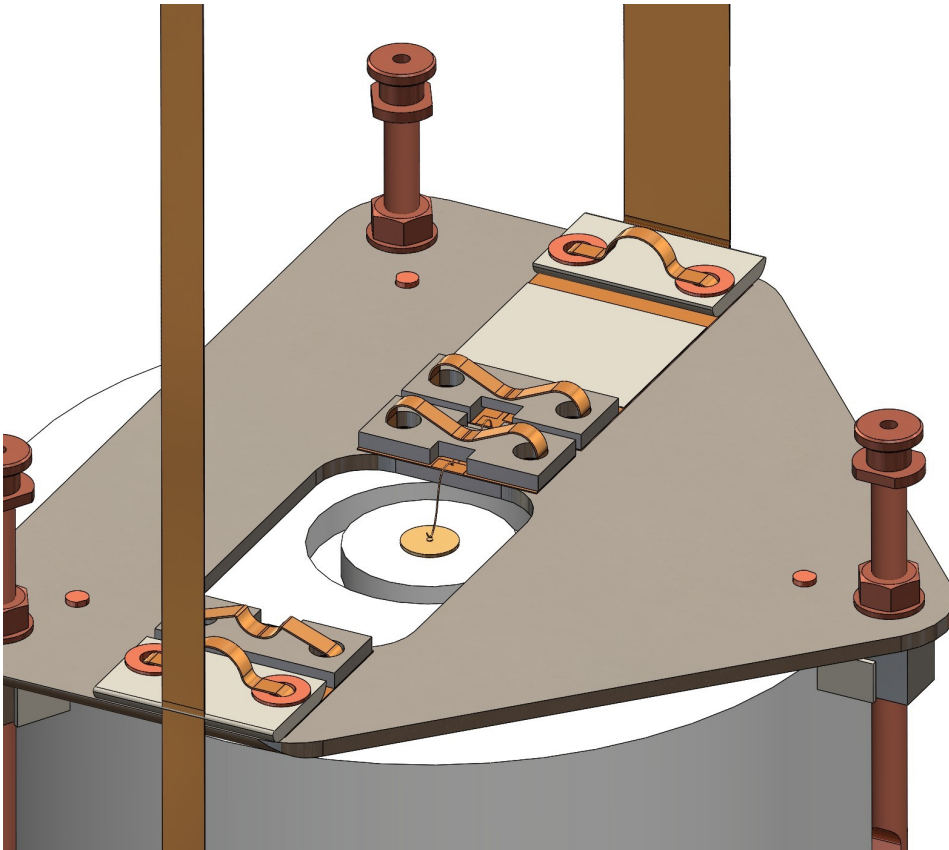
top plate

R11065-20 MOD



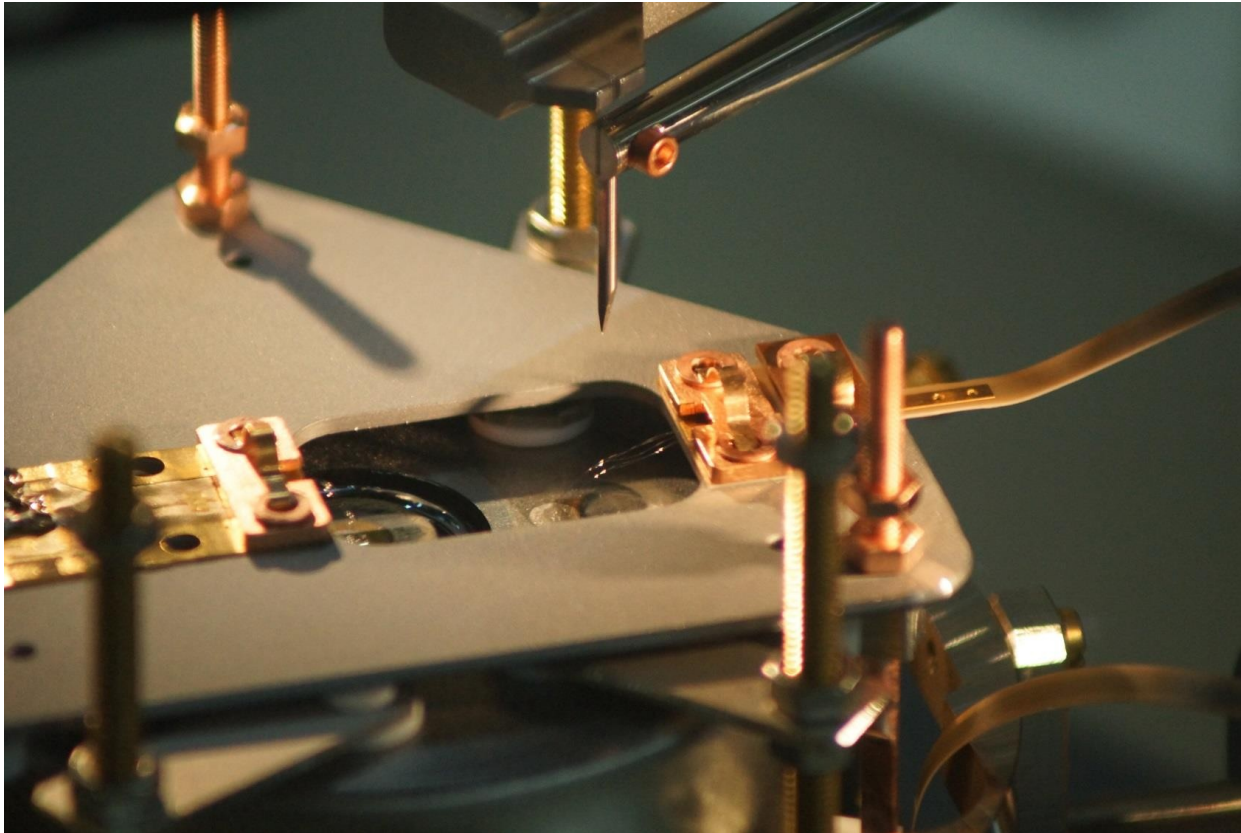
**La parte dei PMTs è pronta.  
... invece le fibre sono in ritardo**

# Nuovi holders per i rivelatori



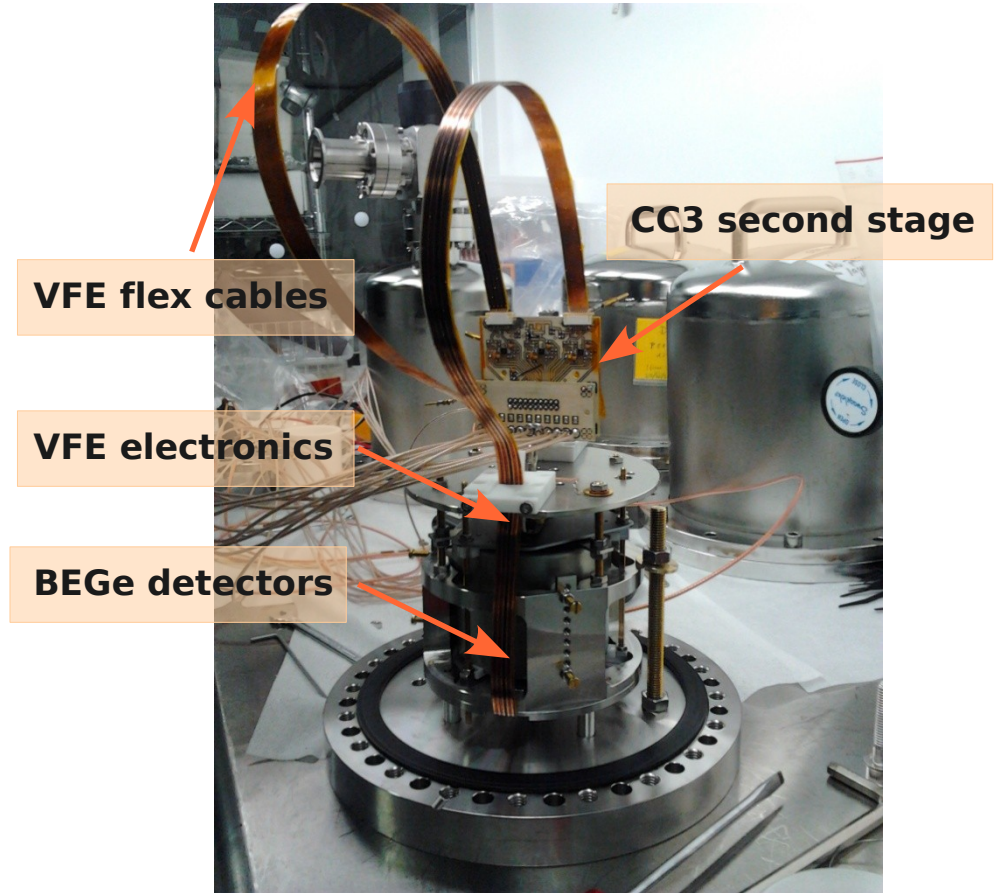
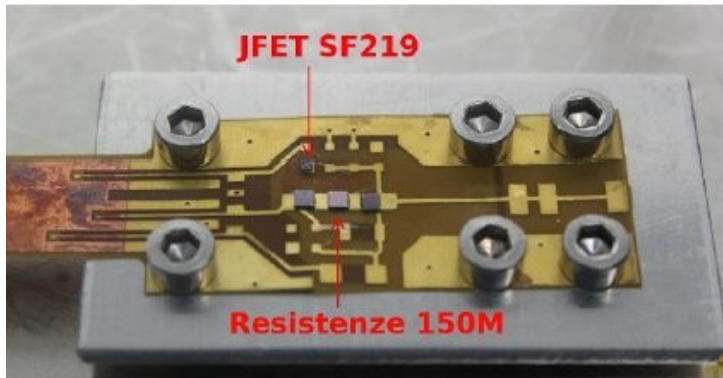
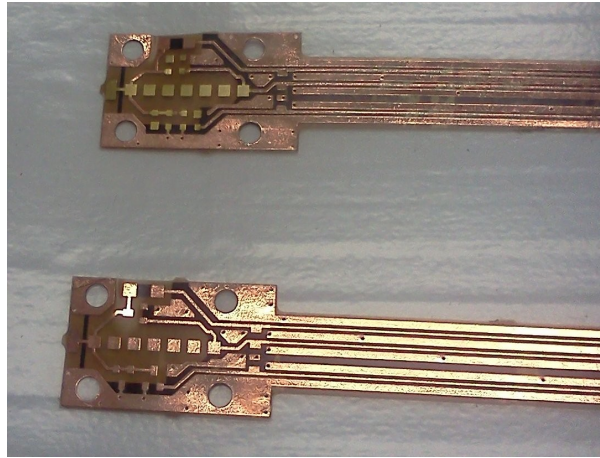
- ▶ Materiali: silicio “semiconductor-grade” + rame
- ▶ Un rivelatore semi-coax oppure due BEGe per unità

# Bonding dei rivelatori



- ▶ Pads in Al sui rivelatori permettono contatti wire-bonding

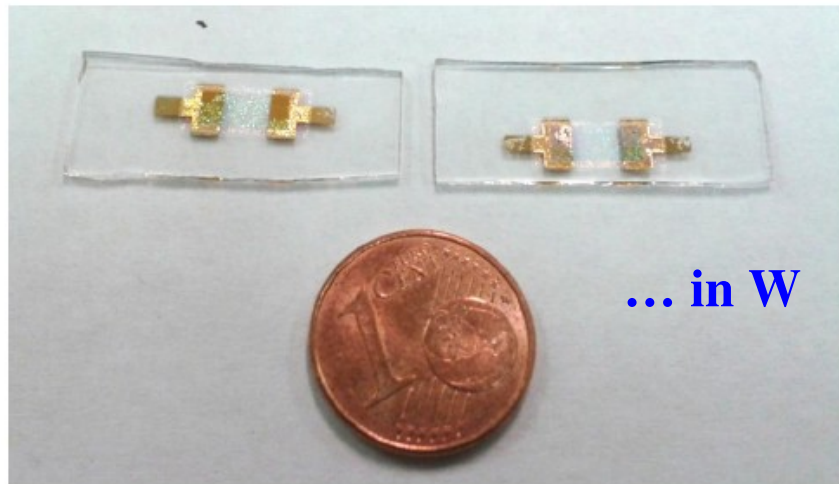
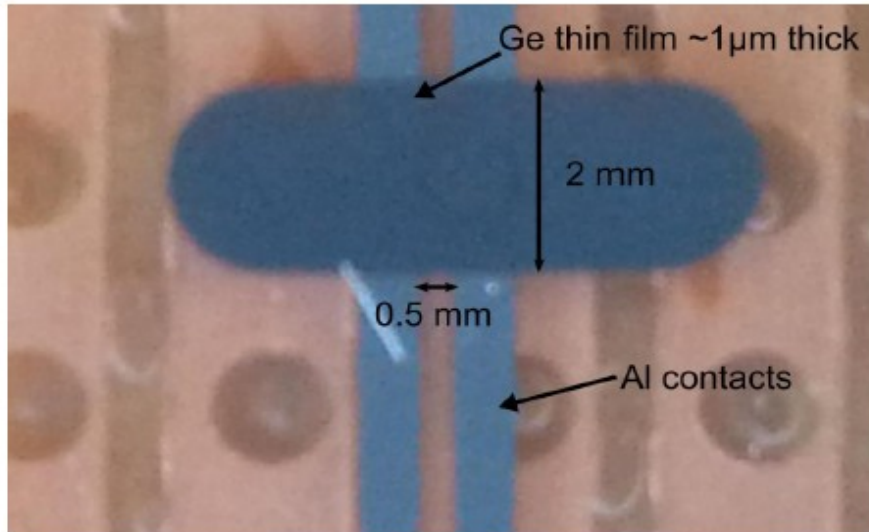
# Cavi Very-Front-End + FE



- ▶ Cavi flessibili in cuflon vicino ai rivelatori
- ▶ FET e feedback network “bondati” direttamente sul cavo
- ▶ Vari tests di integrazione in progress
- ▶ Problemi con le resistenze di feedback (capacità parassite!), R&D su nuove resistenze
- ▶ Ritardi nella produzione finale !

# R&D sulle resistenze per il FE

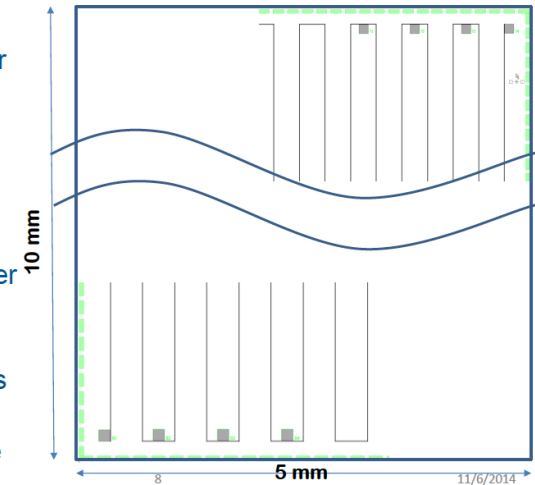
... in Ge amorfo



... in TiN

- Wide meander
- Line width
  - 5  $\mu$ m
  - 7  $\mu$ m
- Total length
  - 127960  $\mu$ m
- Square number
  - 5  $\mu$ m: 25592
  - 7  $\mu$ m: 18280
- 8 contact pads
- 134 dies per wafer per type

Lausanne



- ◆ risultati ancora insufficienti
- ◆ il lavoro continua

# Possibile cronogramma

- **Agosto/Settembre 2014:** Inserzione del sistema di Veto con PMTs
- **Settembre/Ottobre 2014:** Inserzione del sistema di Veto con PMTs + una stringa di rivelatori al Ge.
- **Fine 2014:** Inserzione sistema completo (PMTs +Fibre+Tutti i rivelatori a Ge).

# Attività di Padova nel 2015

- Ulteriori analisi dati di Fase I ( $^{42}\text{Ar}$ , ...)
- Analisi dati di HADES (responsabile A. Garfagnini)
- Test a Legnaro sul Tavolo Compton
- Manutenzione e sviluppo Slow Control + sistema di rete di GERDA in Sala A
- Partecipazione al commissioning della Fase II (Run Team)
- Vari duties all'interno della Collaborazione
- ...



# Richieste finanziarie

Missioni	25.0 keuro
Consumo	7.0 keuro
Inventario	7.0 keuro
Apparati	16.0 keuro

# Richieste ai Servizi della Sezione

Officina Meccanica	2 m.u.
Progettazione Mecc.	2 m.u.
Officina elettronica	2 m.u.
Calcolo e reti	2 m.u.

# Anagrafica

Bettini A.	PO	0%
Brugnera R.	PA	70%
Garfagnini A.	RU	20%
Hemmer S.	PostDoc	100%
Lippi I.	Ric. INFN	60%
Medinaceli E.	PostDoc	70%
Sada C.	RU	100%
C. Sirignano	RU	10%
Stanco L.	Dir. di Ric.	20%
Von Sturm K.	dott.	100%

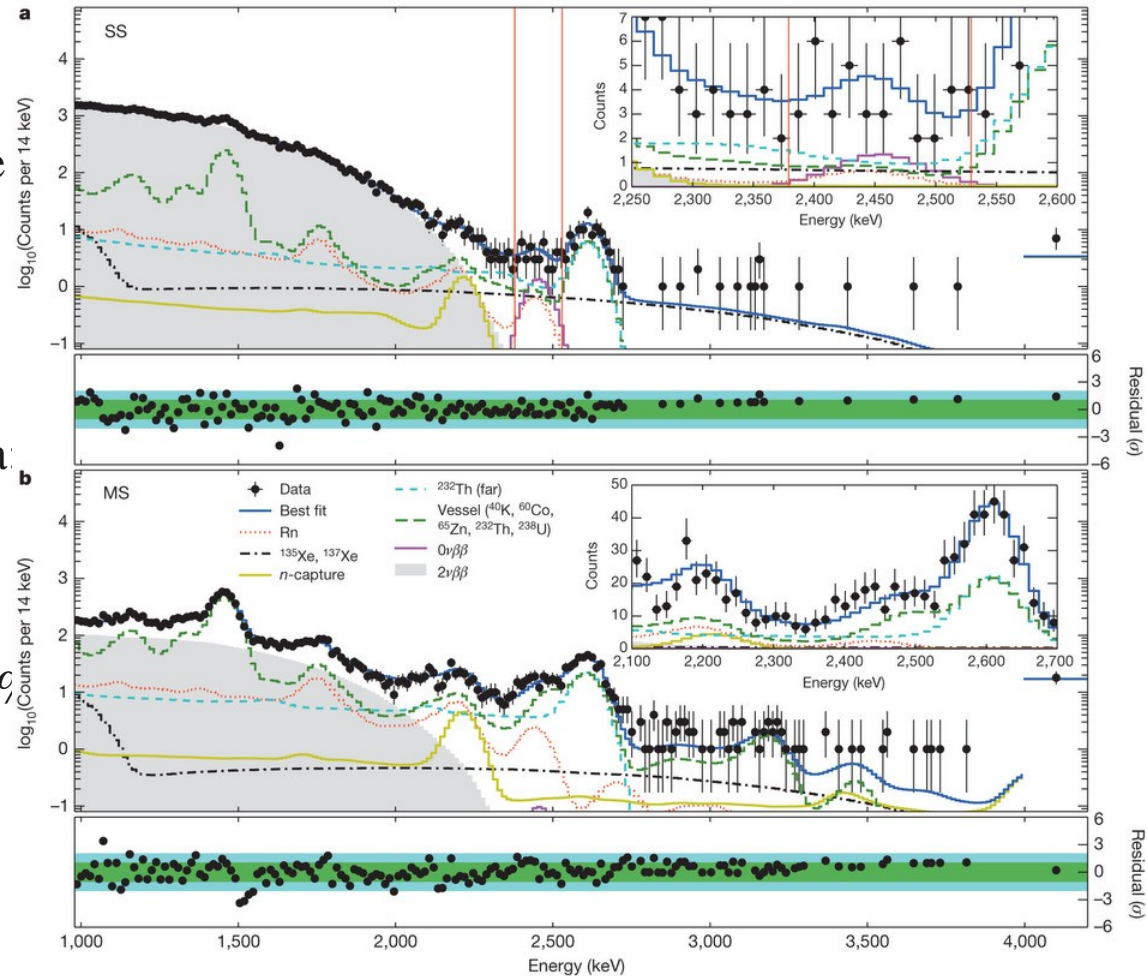
**10 persone**

**5.5 FTE**

**backup slides**

# EXO-200

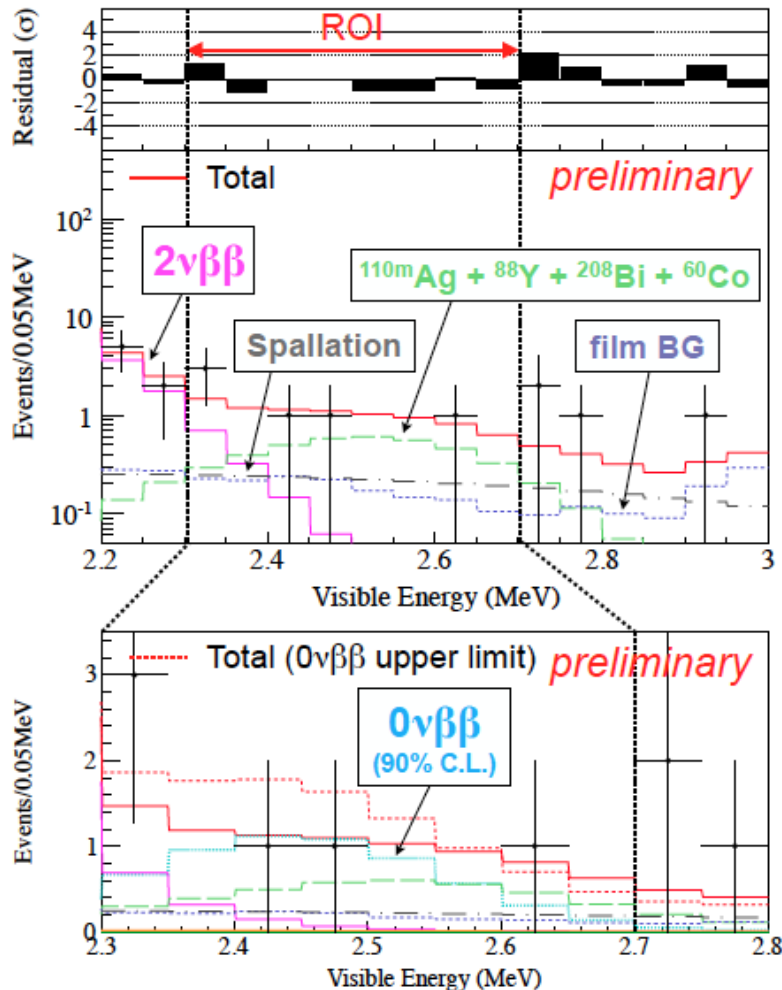
- ◆ Statistica riguardante 2 anni di presa dati:  $\sim 130 \text{ kg}\cdot\text{yr}$   
4 volte la precedente pubblicazione
- ◆ Miglioramenti nell'analisi e risoluzione del rivelatore
- ◆ Sensibilità sulla half-life migliorata:  $1.9 \cdot 10^{25} \text{ yr}$
- ◆ Nessun segnale di doppio beta: limite sull'half-life  $1.1 \cdot 10^{25} \text{ yr}$  al 90% C.L. ( $1.6 \cdot 10^{25} \text{ yr}$  al 90% C.L.)



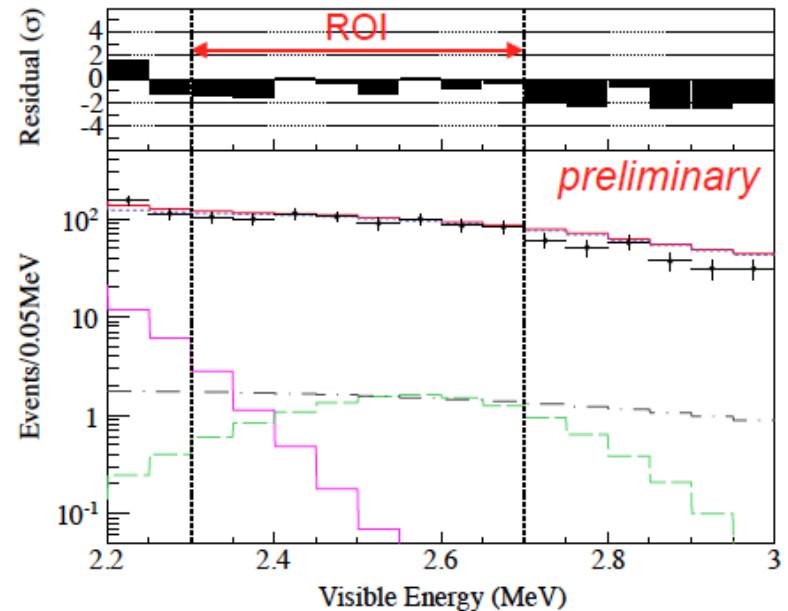
# KamLAND-Zen

## Fit to Energy Spectra for $0\nu\beta\beta$

Internal ( $R < 1.0$  m)



External ( $1.0 < R < 2.0$  m)



Fit to Energy-Volume 2D spectra

Limits on  $0\nu\beta\beta$  at 90% C.L.

$< 17.0$  events/day/kton-LS

$T^{0\nu}_{1/2} > 1.3 \times 10^{25}$  yr

# KamLAND-Zen

- The overall reduction factor for the  $^{110\text{m}}\text{Ag}$  background including the decay is more than 10.
- New results from KamLAND-Zen are presented.

## KamLAND-Zen limits on $0\nu\beta\beta$ at 90% C.L.

Phase 1 (213 days)

$$T^{0\nu}_{1/2} > 1.9 \times 10^{25} \text{ yr}$$

*preliminary*

Phase 2 (115 days)

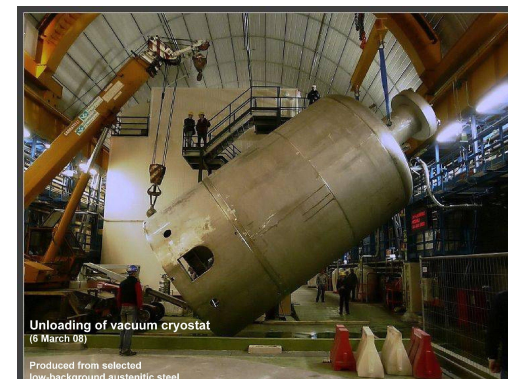
$$T^{0\nu}_{1/2} > 1.3 \times 10^{25} \text{ yr}$$

Combined

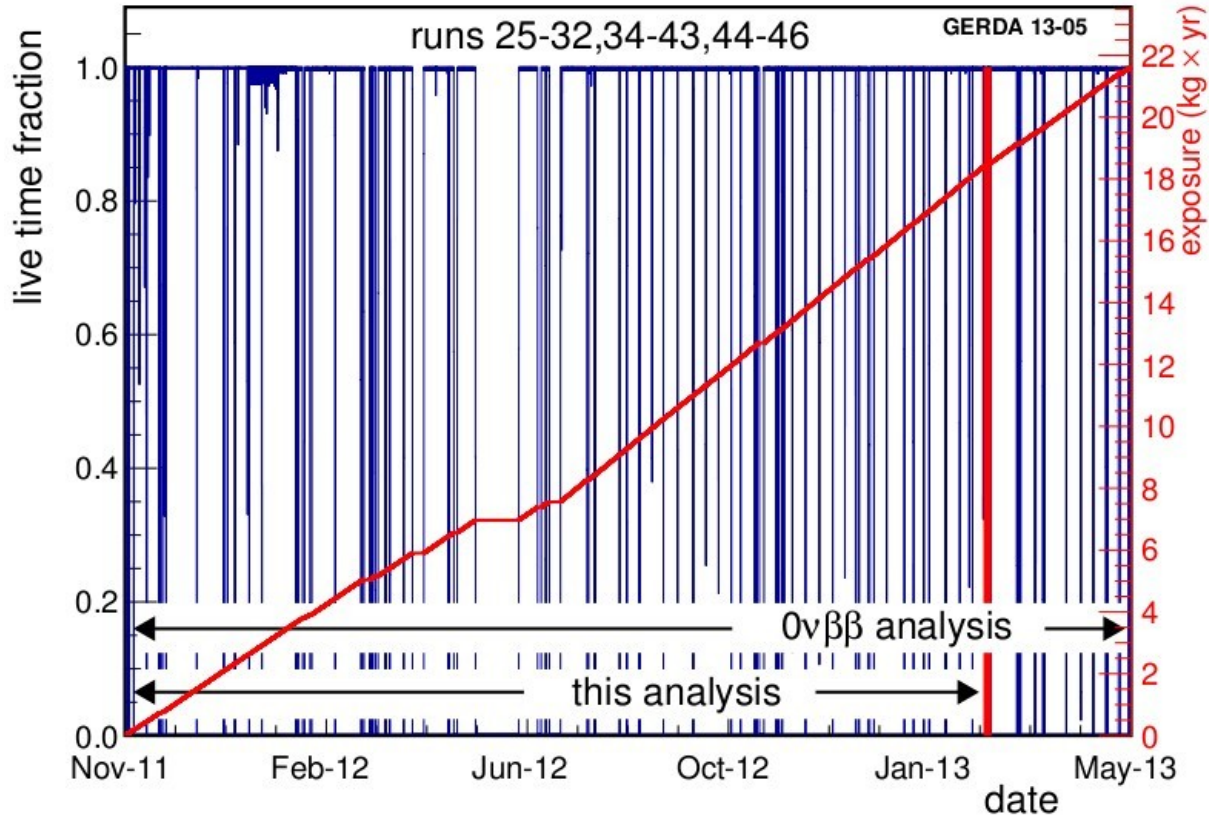
$$T^{0\nu}_{1/2} > 2.6 \times 10^{25} \text{ yr}$$

# The GERDA experiment

Glove-box for Ge-detector handling and mounting into commissioning lock under N<sub>2</sub> atmosphere installed in clean room



# Dati raccolti durante la Fase I



*Fase I:*

9/11/2011

21/05/2013

*Exposure:*

**21.6** kg·yr

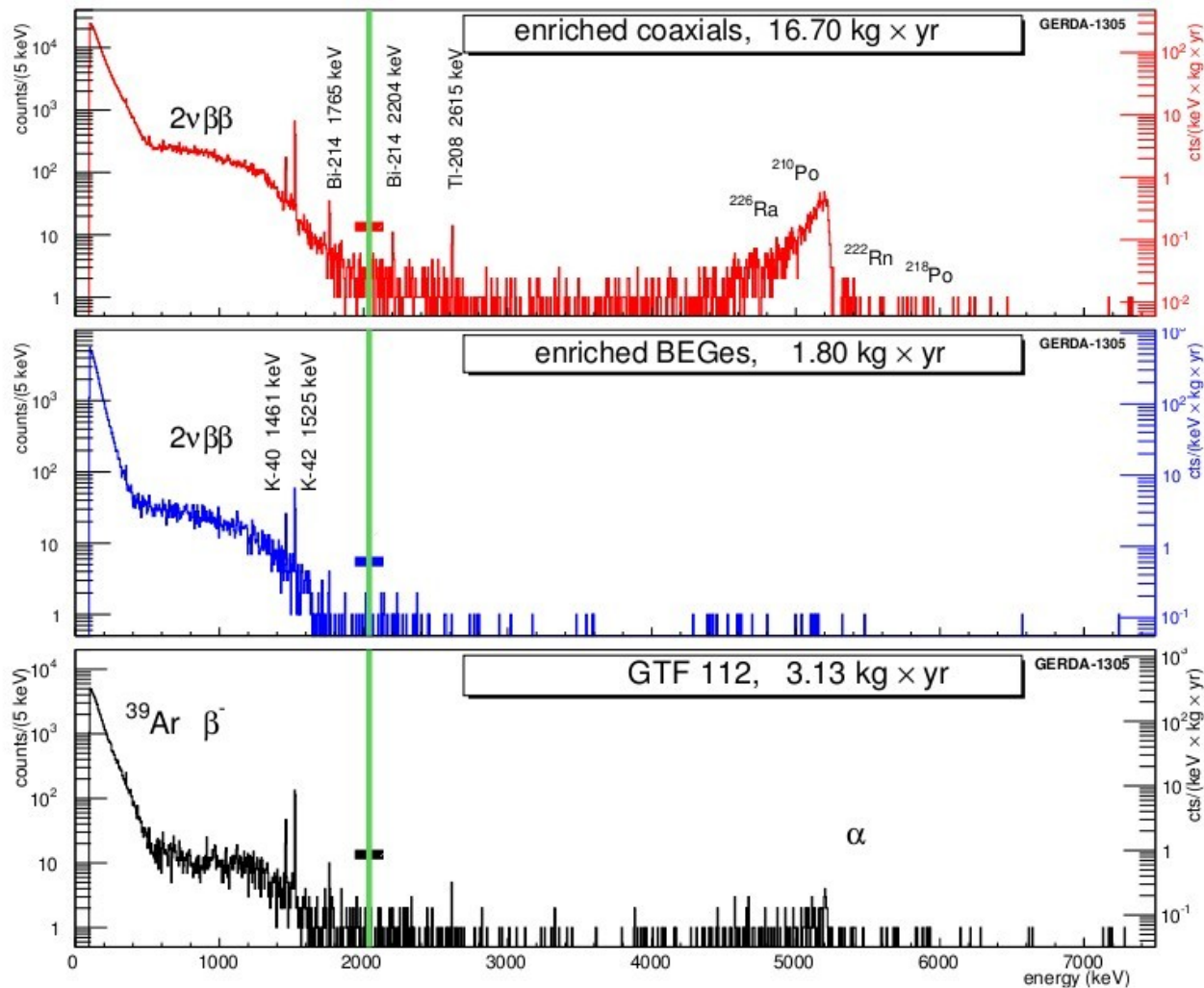
19.2 kg·yr (coax)

2.4 kg·yr (BEGe)

+

4.0 kg·yr (Ge naturale)

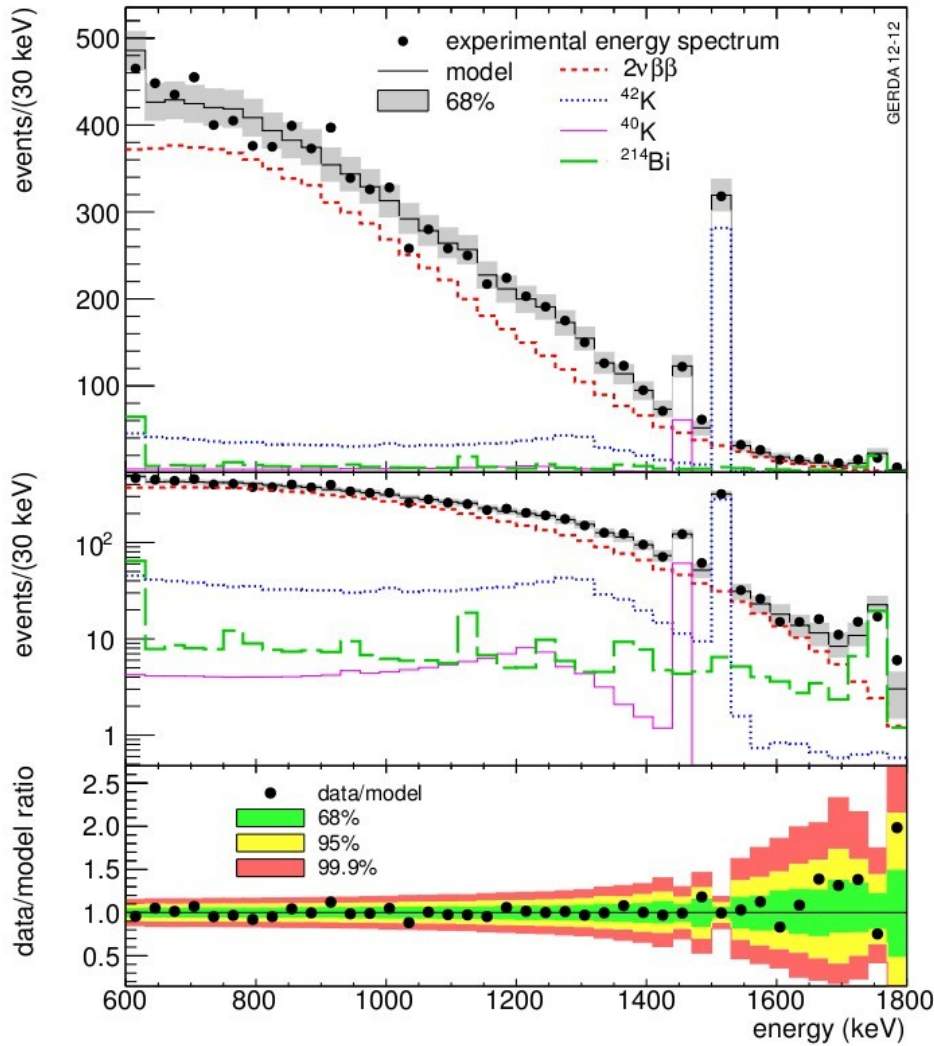




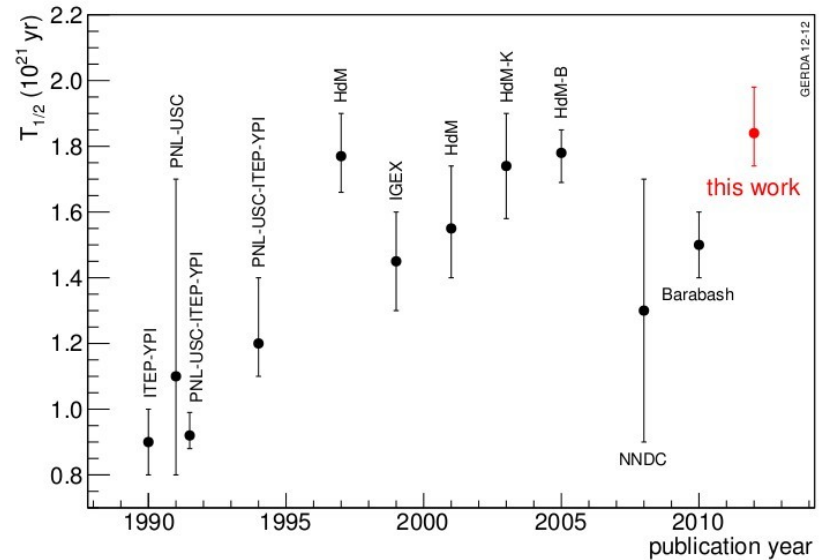
**blinding** fino al 1/05/2013: 40 keV attorno al  $Q_{\beta\beta} = 2039$  keV

**blinding** dal 1/05/2013 al 21/05/2013: 10 keV per i coax + 8 keV per i BEGe

**unblinding finale:** 13/06/2013



**Signal to background: 4:1**



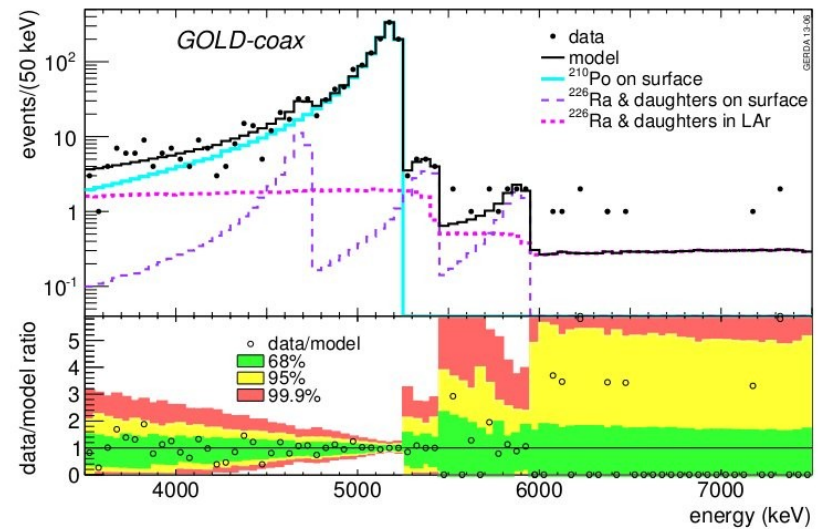
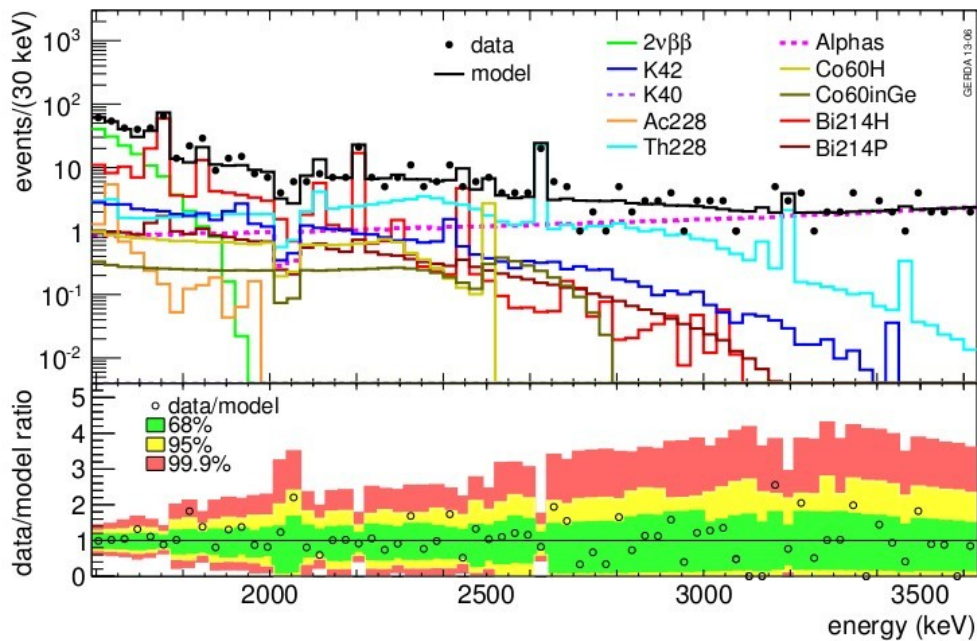
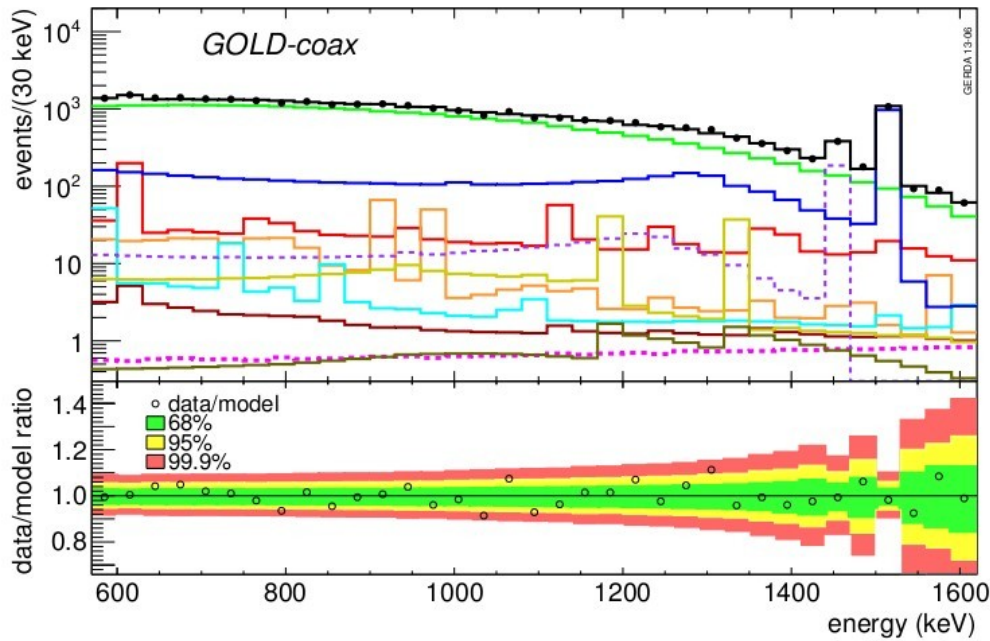
Con i primi 5.04 kg·yr:

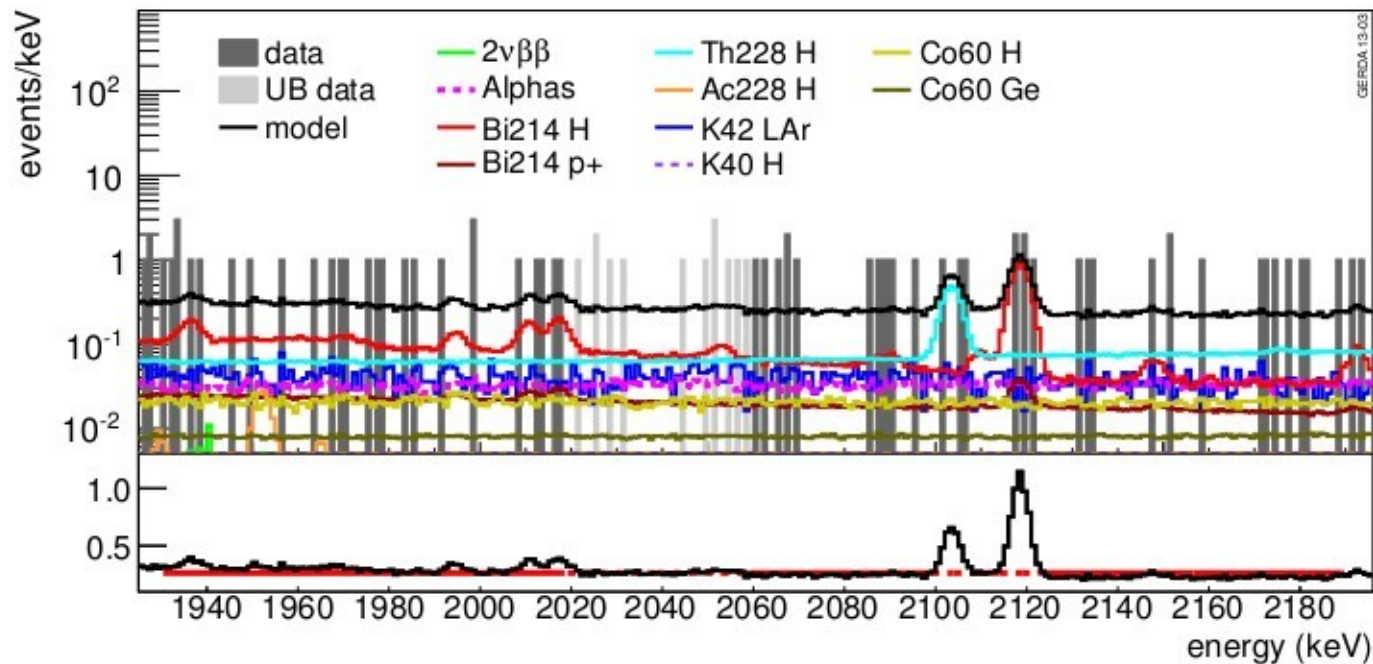
$$T_{1/2}^{2\nu} = (1.84^{+0.09}_{-0.08 \text{ fit}})^{+0.11}_{-0.06 \text{ syst}} \cdot 10^{21} \text{ yr}$$

*The GERDA collaboration*  
*J. Phys. G 40 (2013) 035110*

The background in the neutrinoless double beta decay experiment GERDA, arXiv: 1306.5084v1

Esposizione impiegata: **15.4 kg·yr**





**Background index al  $Q_{\beta\beta}$  dal modello:  $1.85^{+0.08}_{-0.09} \cdot 10^{-2}$  cts/(keV·kg·yr) GOLD-coax**  
 **$3.81^{+0.06}_{-0.06} \cdot 10^{-2}$  cts/(keV·kg·yr) BEGe**

Per i coassiali i fondi principali al  $Q_{\beta\beta}$  sono:

$^{214}\text{Bi}$  (holders),  $^{228}\text{Th}$  (holders),  $^{42}\text{K}$  (LAr),  $\alpha$  (superficie p+)

Per i BEGe i fondi principali al  $Q_{\beta\beta}$  sono:

$^{42}\text{K}$  (superficie n+),  $^{214}\text{Bi}$  (holders),  $^{228}\text{Th}$ (holders),  $^{42}\text{K}$  (Lar),  $\alpha$  (superficie p+)

**Background index** al  $Q_{\beta\beta}$  dal modello:  $1.85^{+0.08}_{-0.09} \cdot 10^{-2}$  cts/(keV·kg·yr) **GOLD-coax**  
 $3.81^{+0.06}_{-0.06} \cdot 10^{-2}$  cts/(keV·kg·yr) **BEGe**

**Background index** al  $Q_{\beta\beta}$  dai dati:  $1.75^{+0.26}_{-0.24} \cdot 10^{-2}$  cts/(keV·kg·yr) **GOLD-coax**  
 $3.61^{+1.32}_{-0.97} \cdot 10^{-2}$  cts/(keV·kg·yr) **BEGe**

Usando l'exposure dei GOLD-coax (17.90 kg·yr) e il loro BI la sensibilità vale:

$T^{0\nu}_{1/2} > 1.9 \cdot 10^{25}$  yr (90% C.L.) **analisi frequentista**  
(mediana del 90% percentile della profile likelihood)

$T^{0\nu}_{1/2} > 1.7 \cdot 10^{25}$  yr (90% C.I.) **analisi bayesiana**  
(mediana del 90% percentile della probabilità a posteriori marginalizzata  $p(T^{0\nu}_{1/2} | \text{spectrum}, H)$ )

La sensibilità di GERDA è circa 10% migliore perchè c'è più esposizione (SILVER-coax + BEGe). Ulteriore miglioramento con la pulse shape discrimination.

# Passi ulteriori verso la pubblicazione ...

Pubblicazione dell'articolo sulla Pulse Shape Discrimination (entro la settimana)

... **seminario** di S. Schonert al GS a **metà luglio**

... e contemporanea pubblicazione dell'**articolo sullo  $0\nu\beta\beta$**  prima di EPS2013.

# Fase II: gli obiettivi

- raggiungere un BI  $\sim 10^{-3}$  cts/(keV· kg· yr)
- esposizione  $\sim 100$  kg·yr  $\longrightarrow T^{0\nu}_{1/2} > 1.3 \cdot 10^{26}$  yr
- $\langle m_{\beta\beta} \rangle \leq 0.09-0.15$  eV

# Stato della Fase II

- ▶ **aumento della massa:** 30 rivelatori BEGe arricchiti (~ 20 kg)
  - già prodotti dalla Canberra Olen
  - completamente analizzati ad Hades (Belgio)
  - i primi 5 BEGe di fase II già impiegati nella Fase I per quasi 1 anno
  
- ▶ **riduzione del background di un fattore 10 rispetto alla Fase I**
  - nuovi cavi di segnale e HV con più basso budget radioattivo
  - nuovo FE cards meno radioattivo e con caratteristiche ottimizzate per i nuovi rivelatori
  - Pulse Shape Discrimination
  - **liquid argon veto instrumentation**
  
- ▶ **nuovo lock system** per l'inserimento dei rivelatori nel criostato

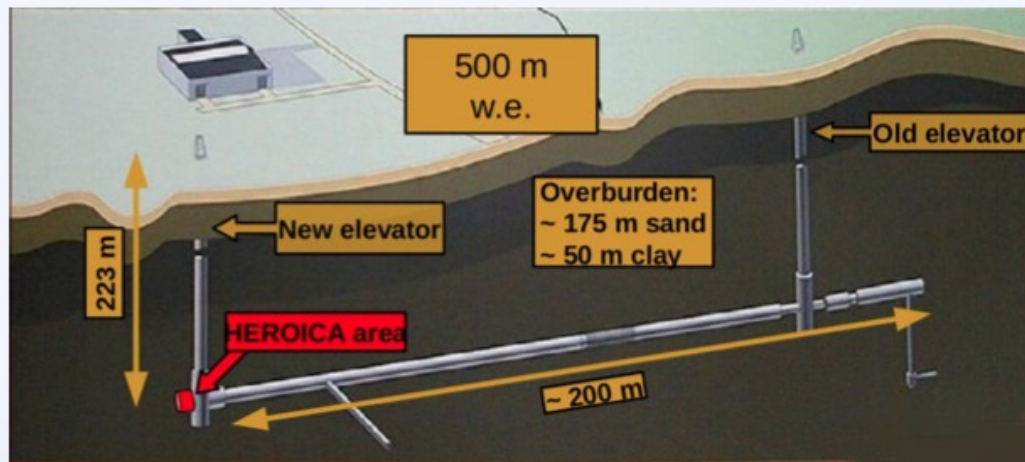


## Production of 30 new <sup>enr</sup>Ge BEGe detectors (~20 kg)

- Do all detectors meet quality requirements?
- Determine all diode parameters (resolution, active volume, depletion voltage,...) before deployment in GERDA

**HEROICA** (Hades Experimental Research Of Intrinsic Crystal Appliances):  
A facility for fast and precise characterization of Ge detectors

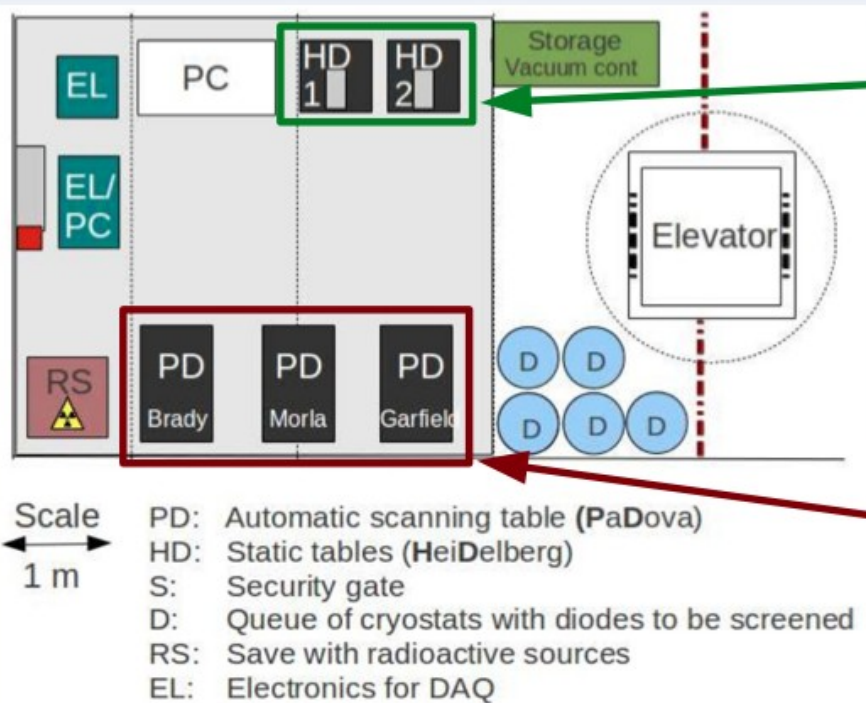
**Located at HADES (High Activity Disposal Experimental Site) at Belgian Nuclear Research Center SCK·CEN, Mol, Belgium:**



- 223 m clay and sand overburden (500 m w.e. ) minimize cosmic radiation
- Vicinity to diode manufacturer (~20 km)
- Also used for diode storage

# The HEROICA setups

Resp. A. Garfagnini



## 2 fixed-source measurement setups

- Lead castle with copper lining for screening
- Available sources:  $^{60}\text{Co}$ ,  $^{228}\text{Th}$ ,  $^{241}\text{Am}$ ,  $^{133}\text{Ba}$



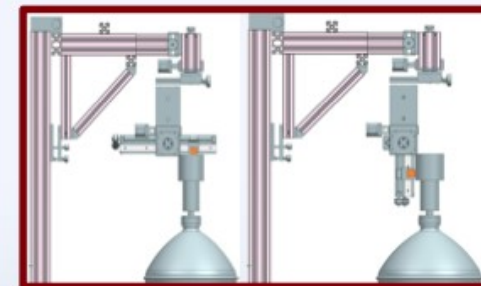
## 3 scanning setups

- Top and lateral surface scans (1 mm / 1° step precision)
- Available sources: 5MBq  $^{241}\text{Am}$



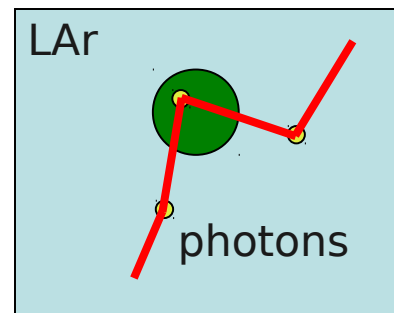
Fully equipped with DAQ systems (FADC, MCA), HV supplies and network for data transfer

**Complete characterization of 2 detectors/week**

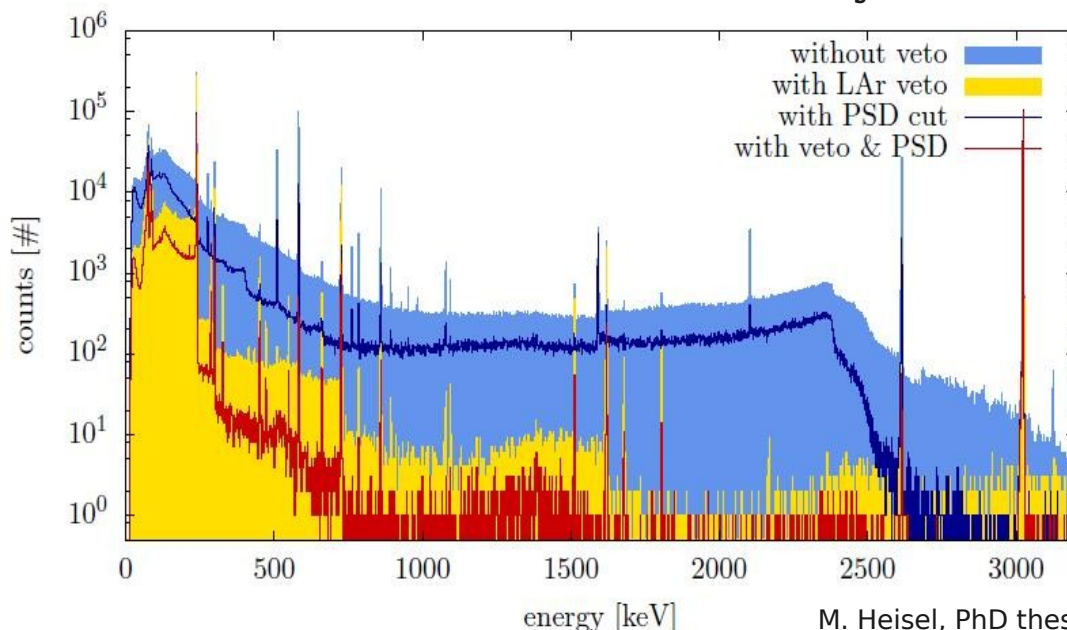


# Status of the Phase II: LAr veto instrumentation

Detection of coincident LAr scintillation light to discriminate background



data from LARGÉ: a test facility at LNGS



M. Heisel, PhD thesis  
M. Agostini et al., J. Phys.: Conf. Ser. 375 (2012) 042009

Combining PSD of BEGe detector and LAr veto:  
measured suppression factor at  $Q_{\beta\beta}$ , e.g.  $\approx 10^3$  for a  $^{228}\text{Th}$  calibration  
source inside cryostat.

# Stato della Fase II

Tempistica:

- ◆ In luglio svuotamento della Water Tank: ispezione generale del criostato + riparazione di alcuni PMT
- ◆ In settembre tutti i rivelatori al GS
- ◆ In ottobre/novembre inizio delle operazioni di installazione del lock

# Attività di Padova nel 2014

- Ulteriori analisi dati di Fase I (limiti sui Majoroni,  $^{42}\text{Ar}$ )
- Analisi dati di HADES (responsabile A. Garfagnini)
- Ulteriori tests di caratterizzazione ad HADES
- Test a Legnaro sul Tavolo Compton
- Manutenzione e sviluppo Slow Control + sistema di rete di GERDA in Sala A
- Partecipazione al commissioning della Fase II (Run Team)
- Vari duties all'interno della Collaborazione
- ...

# Ricercando con il $^{76}\text{Ge}$

$$T_{1/2}^{0\nu} \sim \epsilon \cdot f \cdot \sqrt{\frac{M \cdot t_{\text{run}}}{\text{BI} \cdot \Delta E}}$$

$T_{1/2}^{0\nu}$ : sensitivity to ...

$\epsilon$ : efficiency

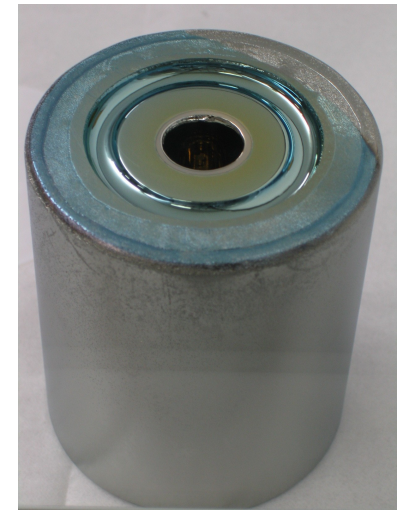
$f$ : abundance of  $0\nu\beta\beta$  isotope

$M$ : detector mass

$t_{\text{run}}$ : measurement time

$\text{BI}$ : background index

$\Delta E$ : energy resolution at  $Q_{\beta\beta}$



*Rivelatore a Ge  
closed-ended*

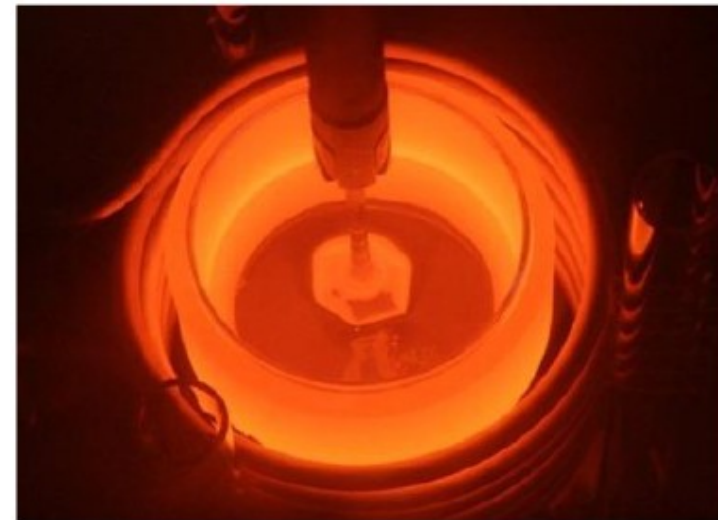
## Advantages of Germanium:

- **High  $\epsilon$** : Source = Detector
- **Small intrinsic BI**: High purity Ge
- **Excellent  $\Delta E$** : FWHM  $\sim (0.1-0.2)\%$
- Well-established technology

## Disadvantages of Germanium:

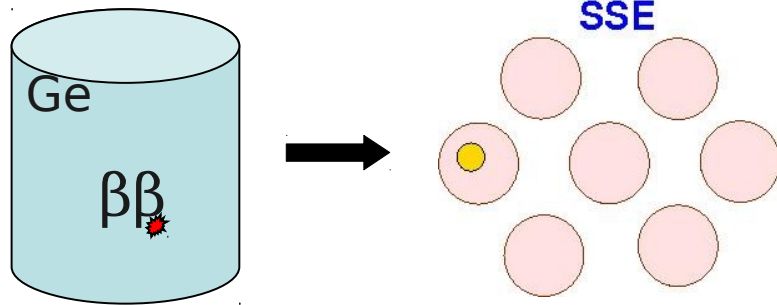
- at  $Q_{\beta\beta} = 2039\text{keV}$  more challenging to reach **low enough background**
- **Small  $f$  of  $^{76}\text{Ge}$** :  
7.8%  $\rightarrow$  Enrichment needed!
- Limited sources of crystal & detector manufacturers
- Small  $G^{0\nu}(Q_{\beta\beta}, Z)$

# Arricchimento in $^{76}\text{Ge}$



# Background reduction

## Signal

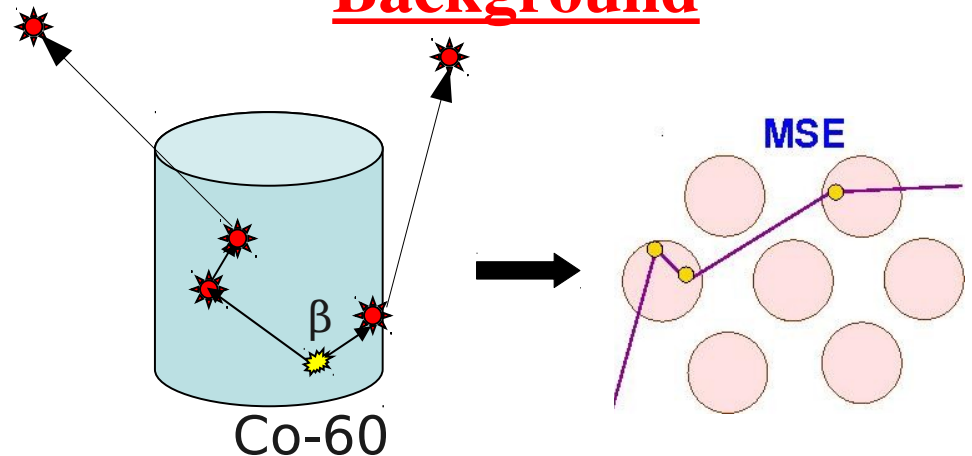


**Point-like (single-site)**  
energy deposition inside one  
HP-Ge diode (Range:  $\sim 1$  mm)

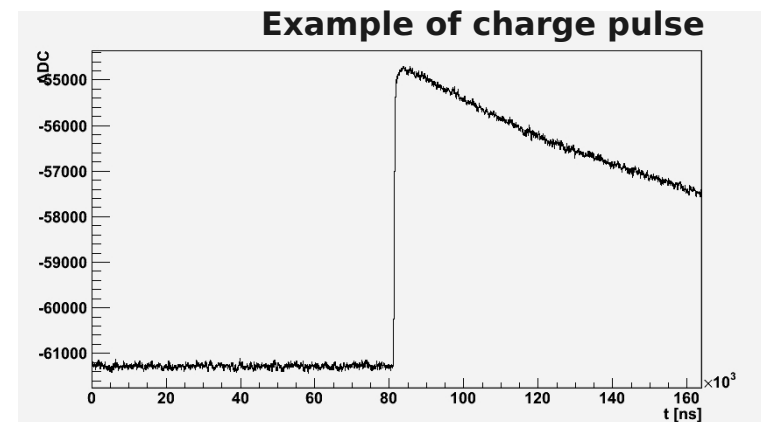
## Signal analysis:

- anti-coincidence between detectors
- pulse shape analysis (PSA) with Phase II BEGe detectors

## Background

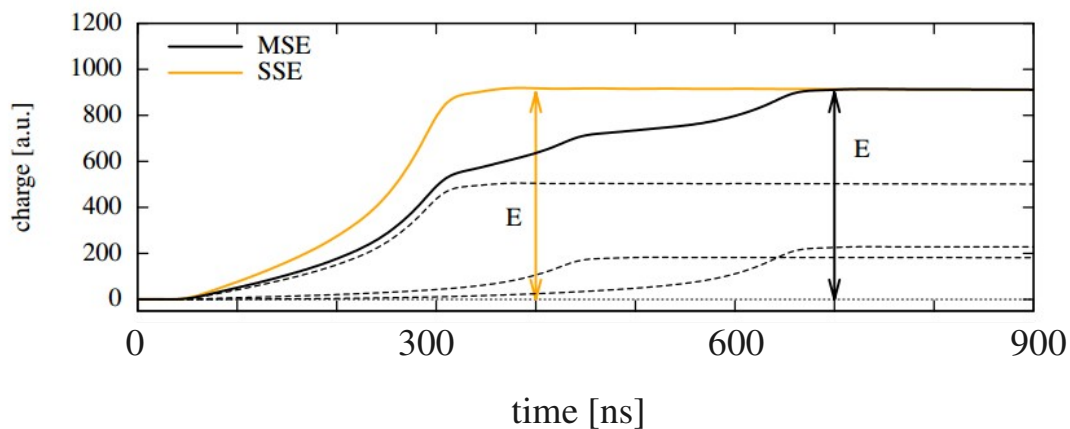
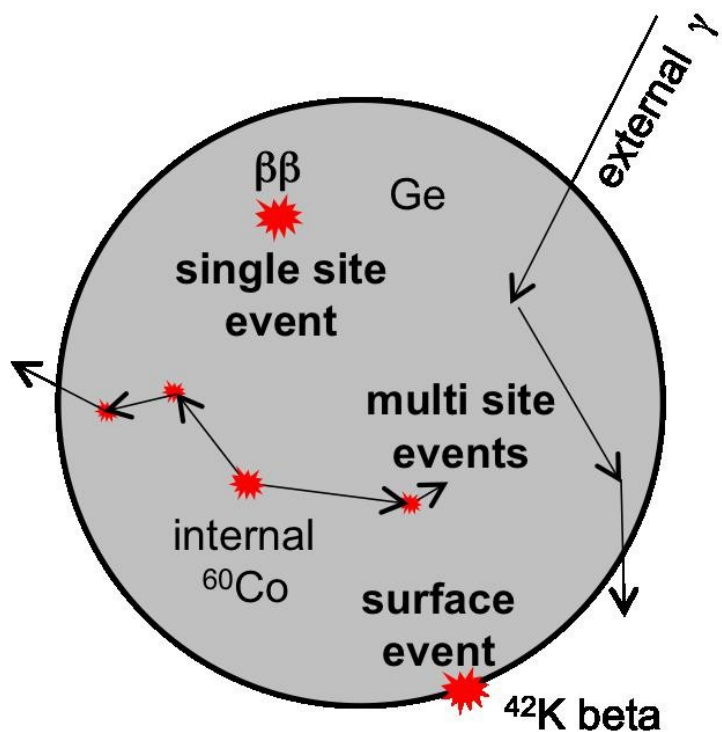


**Multi-site** energy deposition  
inside HP-Ge diode (Compton  
scattering)



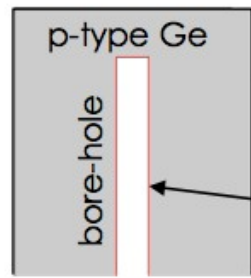


# Background reduction



# Modified Broad-Energy Ge detectors

GERDA Phase I:  
semi-coaxial  
Ge detector



**n<sup>+</sup> electrode**  
( $\leq$ mm thick)  
HV contact

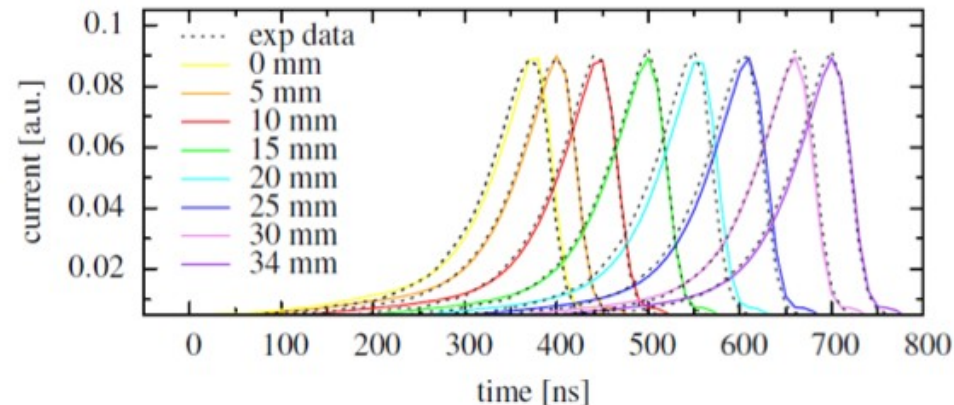
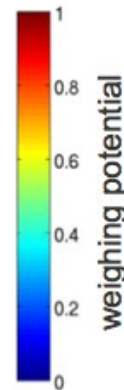
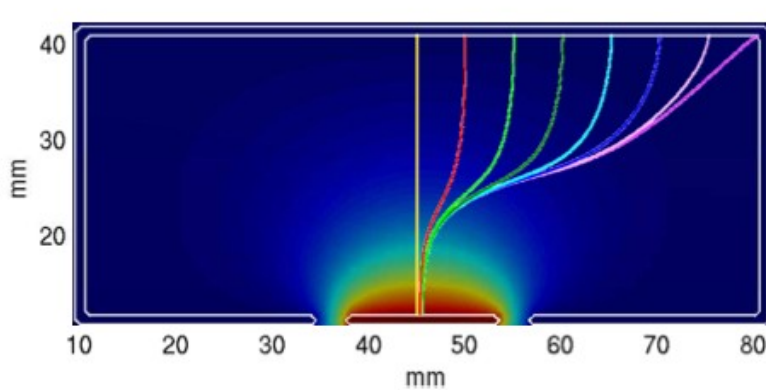
**p<sup>+</sup> electrode**  
( $<$  $\mu$ m thick)  
read-out contact



GERDA Phase 2:  
**modified BEGe**  
**detector**

## BEGe advantages:

- 1) smaller p<sup>+</sup> electrode  $\Rightarrow$  less capacitance  $\Rightarrow$  **less noise**  $\Rightarrow$  **better energy resolution**
- 2) favourable internal electric field distribution  $\Rightarrow$  **powerful PSD capability**



- narrow peak in current signal
- signal shape independent of interaction position (same final trajectory)
- current amplitude depends only on energy of interaction (~95% of volume)

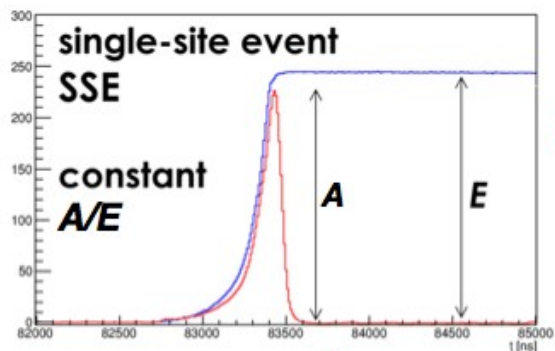
# GERDA Phase II background identification tools



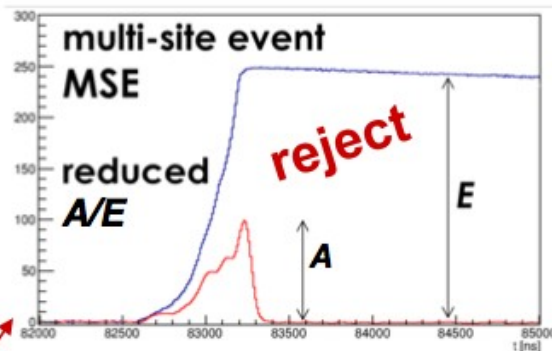
➤ identification and discrimination of events by **PSD** and **LAr veto**:

**$\beta\beta$ -decay**:  $\beta$  range in Ge  $\sim$ mm

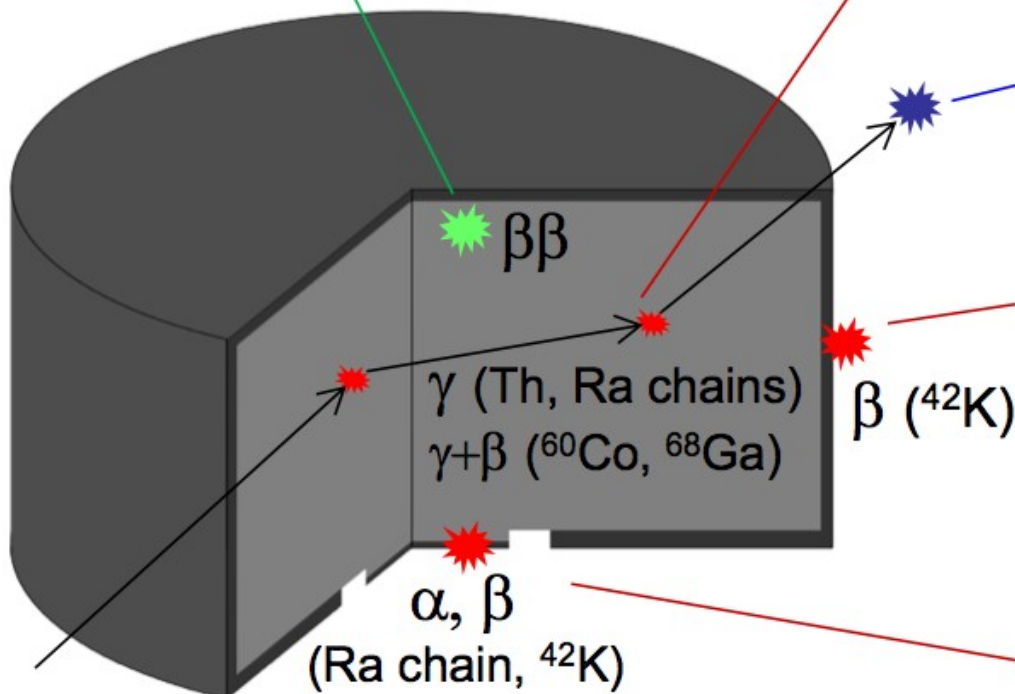
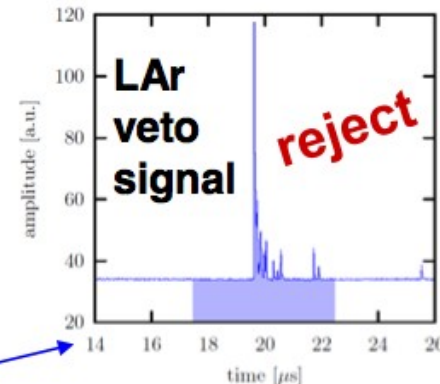
**$\gamma$ -ray backgrounds**: range in Ge  $\sim$ cm



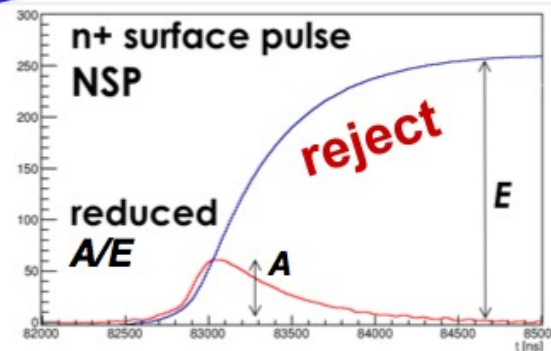
accept



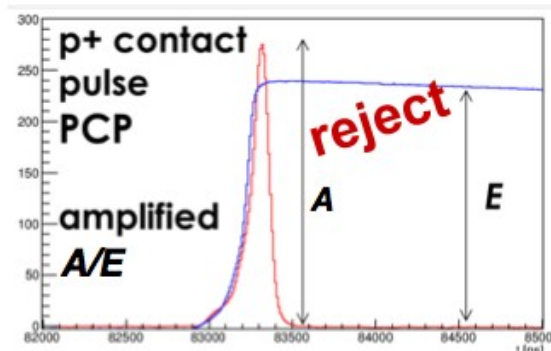
reject



surface backgrounds:

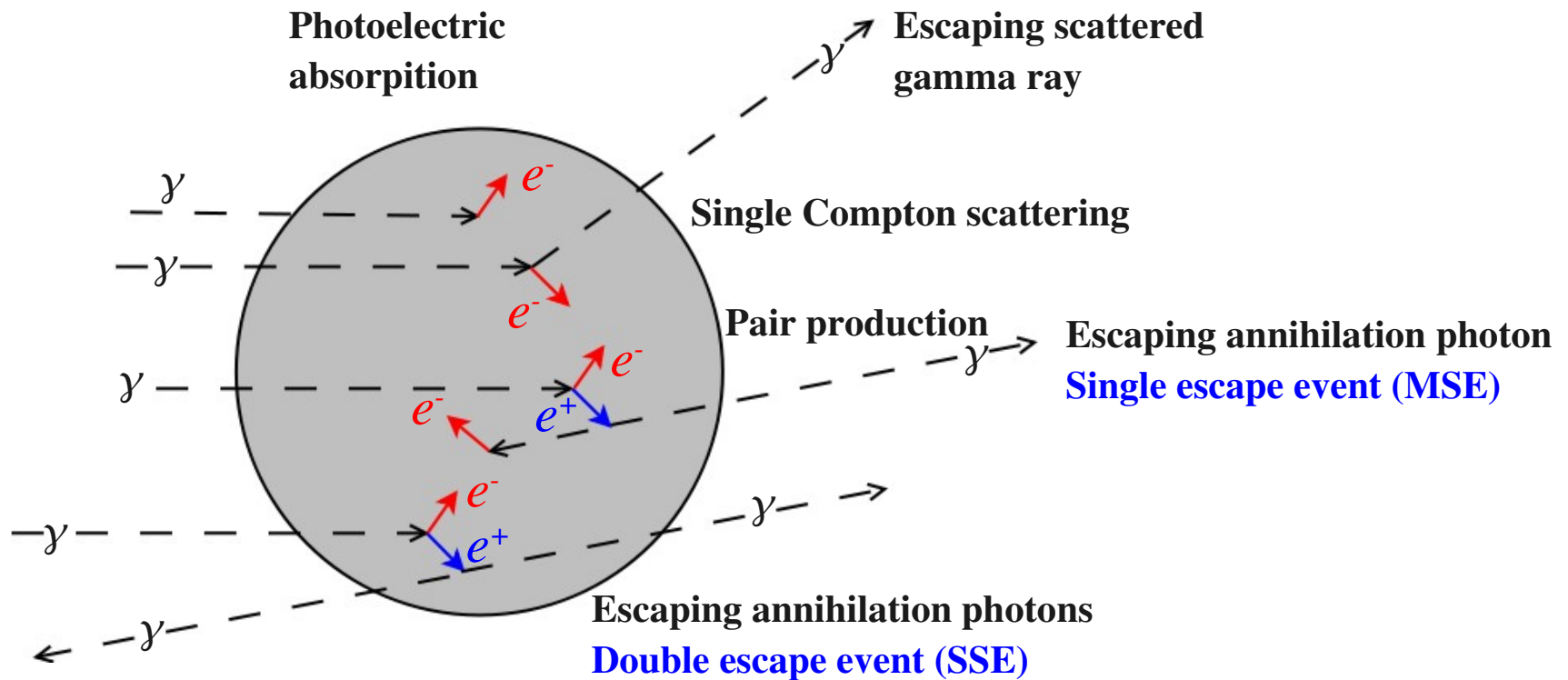
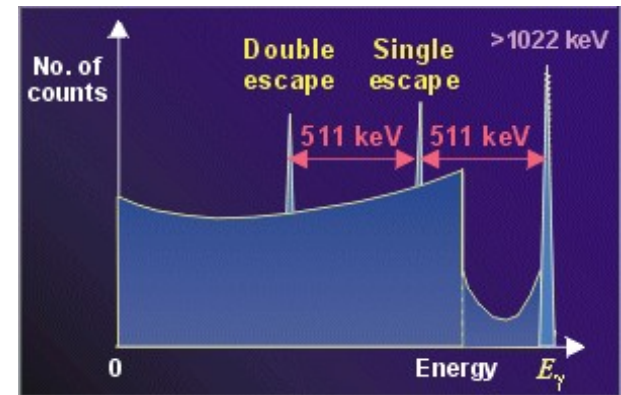


reject

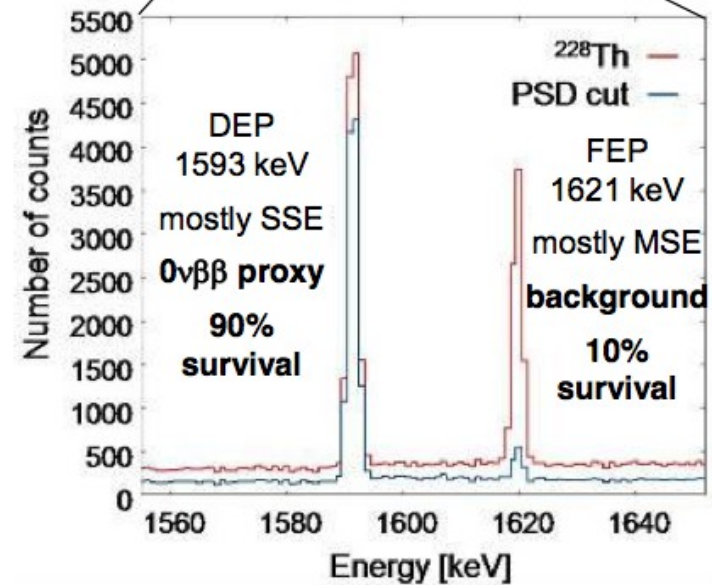
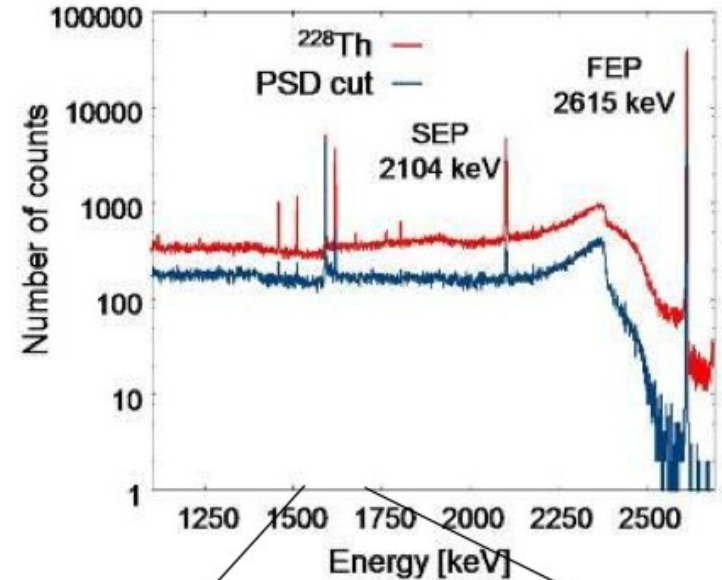
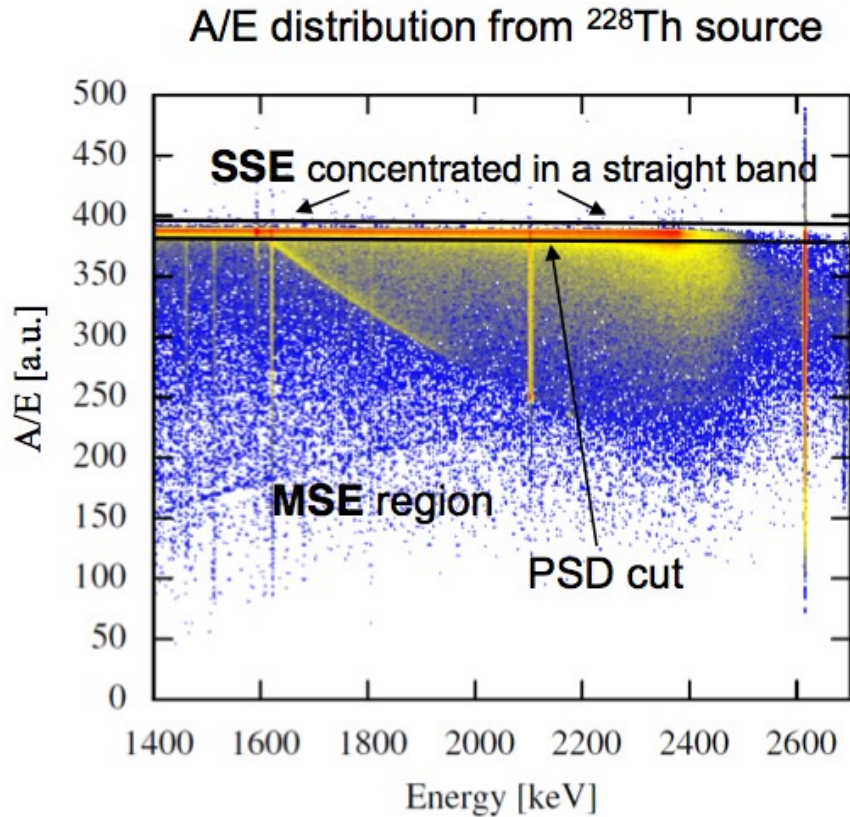


reject

# Proxy per SSE e MSE

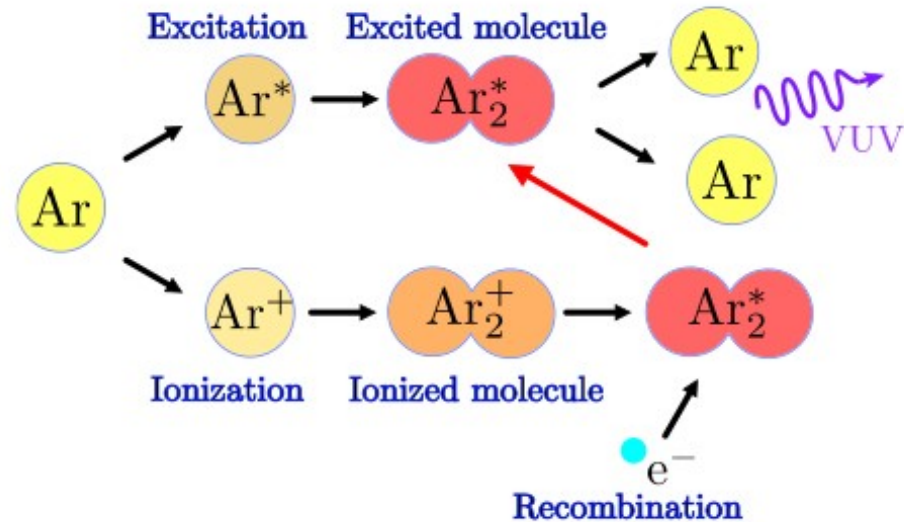


# Background rejection using A/E cut with BEGes



[D. Budjaš et al., JINST 4:P10007,2009]  
[M. Agostini et al., JINST 6:P03005, 2011]

# Scintillazione nell'Ar (liquido)



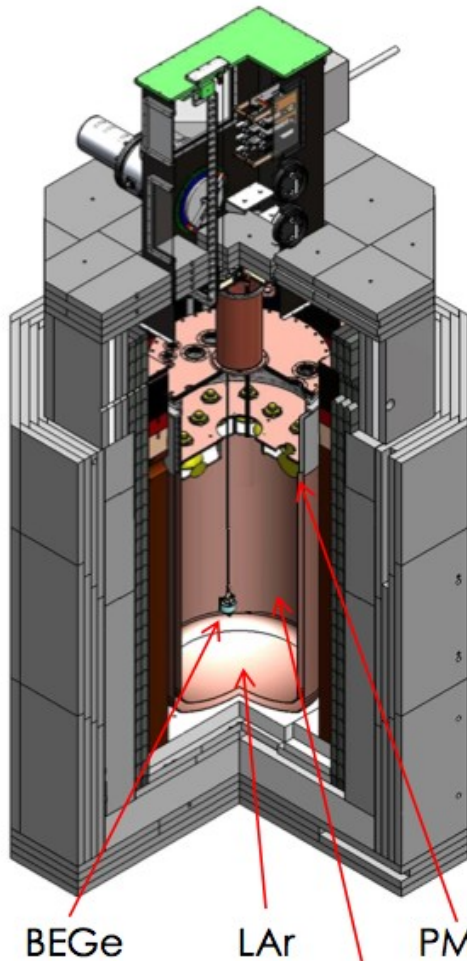
**Figure 3.3.1.:** Scintillation mechanism of LAr. Ionizing radiation leads to excited or ionized argon atoms. Those atoms form molecules with ground state argon atoms called dimers. Recombining with a free electron an ionized dimer is transformed into an excited dimer (excimer). Those excimers decay under emission of a photon with  $\lambda = 126.8$  nm. From [A<sup>+</sup>08].

light yield:  $4 \cdot 10^4 \gamma/\text{MeV}$

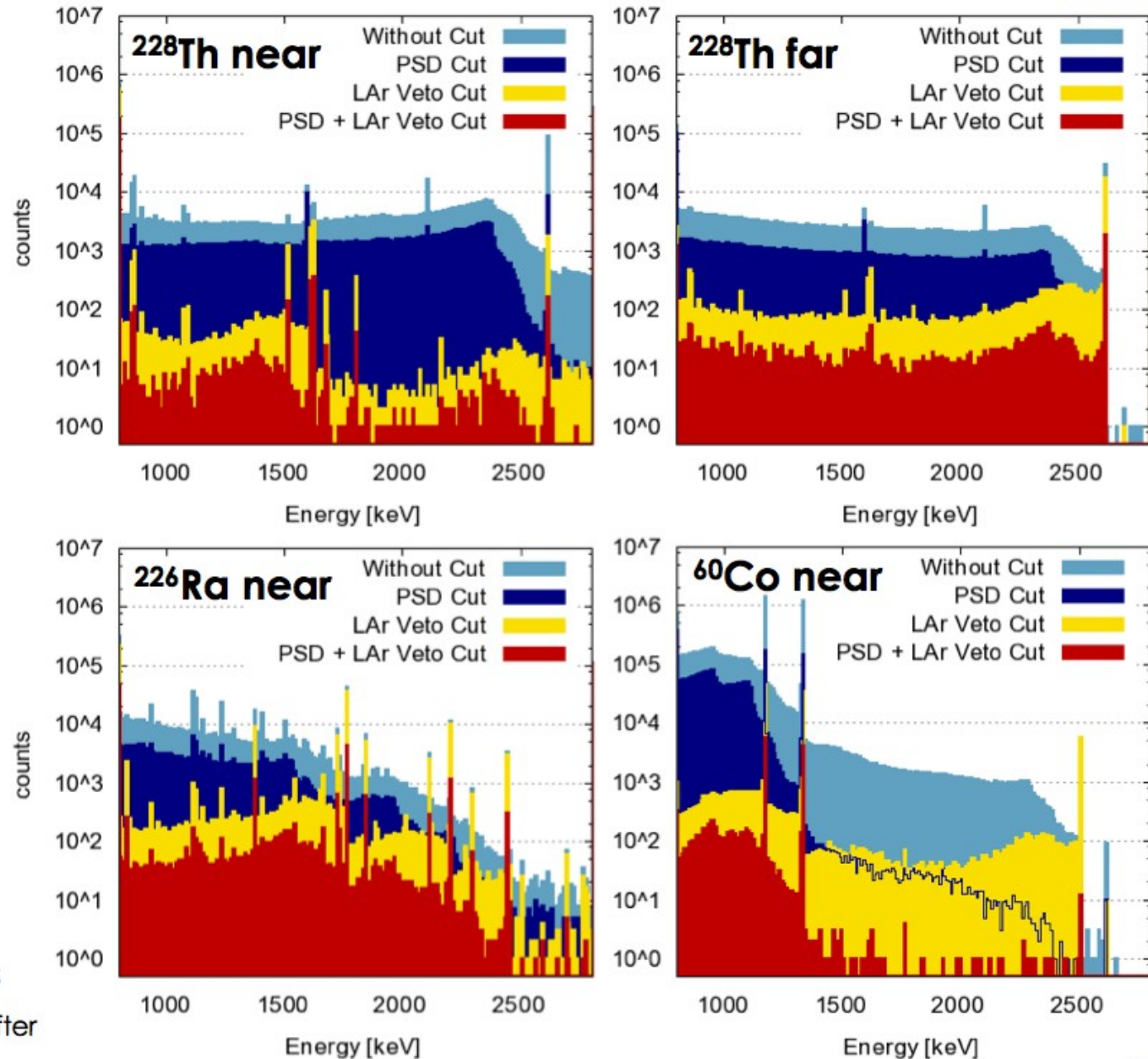
# PSD and LAr veto studies in LARGe



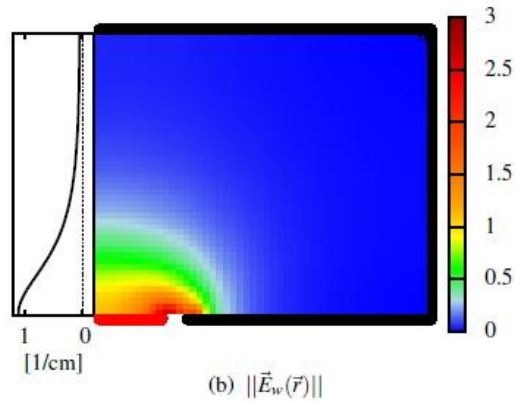
Low background test facility GERDA-LARGe at LNGS:



reflecting foil with wavelength shifter

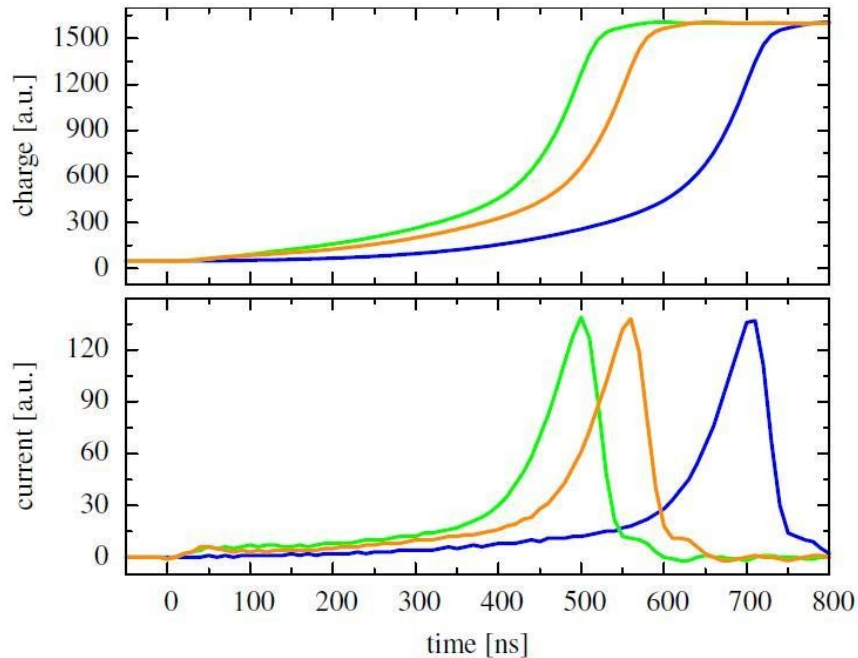


# Phase II detectors

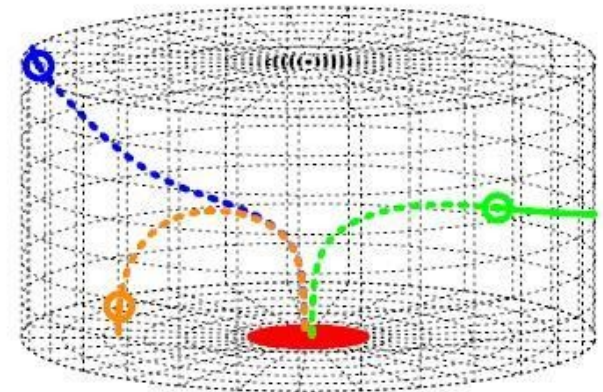


**Shockley-Ramo  
Theorem:**

$$Q(t) = -q \cdot \Phi_w(\mathbf{r}(t))$$



- ..... anode
- cathode
- electrons
- - - holes
- ⊙ interaction point





# GERmanium Detector Array (GERDA)

## The GERDA collaboration

*111 members, 18 institutes, 6 countries*



<sup>a)</sup> INFN Laboratori Nazionali del Gran Sasso, LNGS, Assergi, Italy

<sup>b)</sup> Institute of Physics, Jagiellonian University, Cracow, Poland

<sup>c)</sup> Institut für Kern- und Teilchenphysik, Technische Universität Dresden, Dresden, Germany

<sup>d)</sup> Joint Institute for Nuclear Research, Dubna, Russia

<sup>e)</sup> Institute for Reference Materials and Measurements, Geel, Belgium

<sup>f)</sup> Max Planck Institut für Kernphysik, Heidelberg, Germany

<sup>g)</sup> Dipartimento di Fisica, Università Milano Bicocca, Milano, Italy

<sup>h)</sup> INFN Milano Bicocca, Milano, Italy

<sup>i)</sup> Dipartimento di Fisica, Università degli Studi di Milano e INFN Milano, Milano, Italy

<sup>j)</sup> Institute for Nuclear Research of the Russian Academy of Sciences, Moscow, Russia

<sup>k)</sup> Institute for Theoretical and Experimental Physics, Moscow, Russia

<sup>l)</sup> National Research Centre “Kurchatov Institute”, Moscow, Russia

<sup>m)</sup> Max-Planck-Institut für Physik, München, Germany

<sup>n)</sup> Physik Department and Excellence Cluster Universe, Technische Universität München, Germany

<sup>o)</sup> Dipartimento di Fisica e Astronomia dell'Università di Padova, Padova, Italy

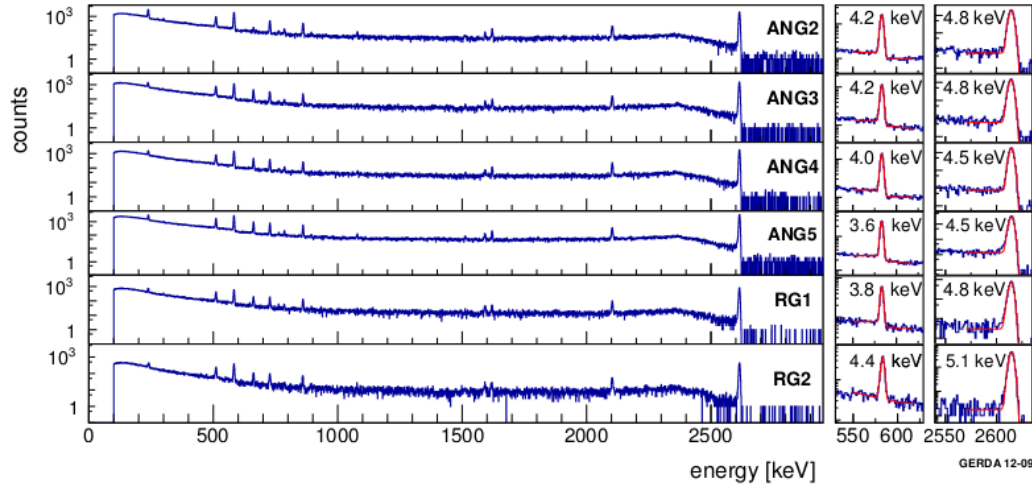
<sup>p)</sup> INFN Padova, Padova, Italy

<sup>q)</sup> Physikalisches Institut, Eberhard Karls Universität Tübingen, Tübingen, Germany

<sup>r)</sup> Physik Institut der Universität Zürich, Zürich, Switzerland

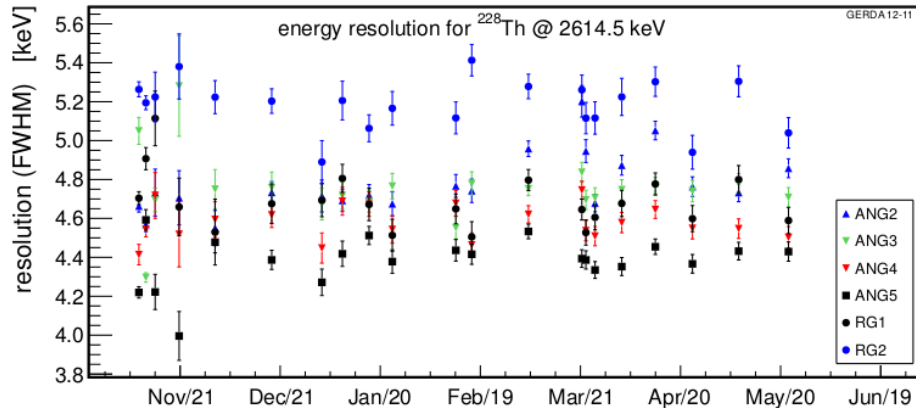
- Bare <sup>enr</sup>Ge array in liquid Argon
- Shield: high-purity liquid Argon / H<sub>2</sub>O
- **Phase I:** 18 kg enriched coaxial detectors (~86%)(HdM/IGEX)
- **Phase II:** add ~20 kg new enriched BEGe detectors
- For future ton scale experiment: Merge with Majorana collaboration (already open exchange of knowledge and technologies)

## Calibration spectra for $^{enr}\text{Ge}$ detectors with $^{228}\text{Th}$ source

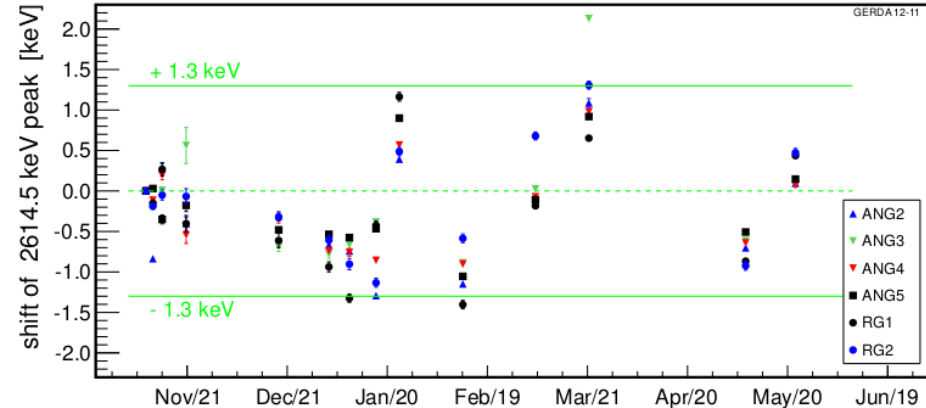


Mass weighted average for **FWHM at  $Q_{\beta\beta} = 4.5$  keV**

### Stability of the resolution

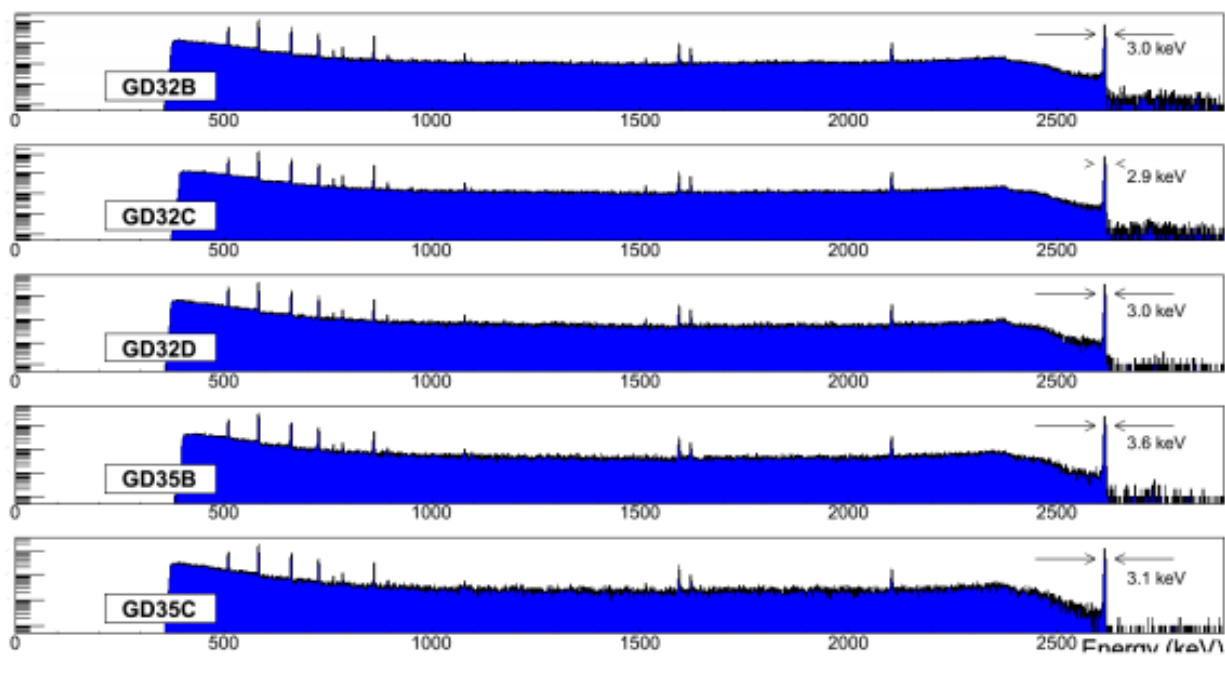


### Stability of the energy scale



# First BEGe's in GERDA

## Calibration spectra



## Energy resolution and PSA properties

Detector	E resolution [keV]	A/E res.	A/E res. HADES
Agamennone (GD32B)	$2.88 \pm 0.02$	1.5%	0.8%
Andromeda (GD32C)	$2.84 \pm 0.02$	1.7%	1.3%
Anubis (GD32D)	$2.96 \pm 0.04$	1.7%	1.6%
Achilles (GD35B)	$3.61 \pm 0.05$	1.9%	0.6%
Aristoteles (GD35C)	$3.09 \pm 0.06$	1.7%	1.7%